#### ЭЛЕКТРОННАЯ И ИОННАЯ ОПТИКА

УЛК 537.533

# ГЕОМЕТРИЗОВАННЫЕ МОДЕЛИ СПЛОШНОГО ОСЕСИММЕТРИЧНОГО И ПЛОСКОСИММЕТРИЧНОГО РЕЛЯТИВИСТСКИХ ЭЛЕКТРОННЫХ ПУЧКОВ

© 2021 г. В. А. Сыровой\*

ВЭИ — филиал "РФЯЦ — ВНИИТФ им. акад. Е.И. Забабахина", ул. Красноказарменная, 12, Москва, 111250 Российская Федерация

\*E-mail: red@cplire.ru

Поступила в редакцию 30.10.2020 г. После доработки 30.10.2020 г. Принята к публикации 15.01.2021 г.

Сформулированы геометризованные модели релятивистского электронного потока при отсутствии внешнего магнитного поля, которые позволяют синтезировать непараксиальный пучок с катода заданной формы и с заданным распределением плотности тока в  $\rho$ -режиме эмиссии и основаны на интегрировании двух обыкновенных дифференциальных уравнений второго порядка.

**DOI:** 10.31857/S0033849421070123

#### **ВВЕДЕНИЕ**

Геометризованная теория интенсивных электронных пучков наиболее полно изложена в монографиях [1, 2] и более поздних работах [3–7]. В отличие от традиционных подходов искомыми являются не только конфигурация и параметры потока, но и заранее не известная система координат  $x^{i}$  (i = 1, 2, 3), связанная с геометрией течения: траектории частиц совпадают с координатными линиями  $x^1$  либо поверхности  $x^2 = \text{const}$ могут быть трубками тока. В общем случае произвольной ориентации магнитного поля система  $x^{i}$ является неортогональной, если пучок стартует с термокатода при эмиссии в  $\rho$ - или T-режиме. Метрический тензор  $g_{ik}$  системы  $x^i$  удовлетворяет тождествам Ляме, выражающим факт эвклидовости пространства классической физики.

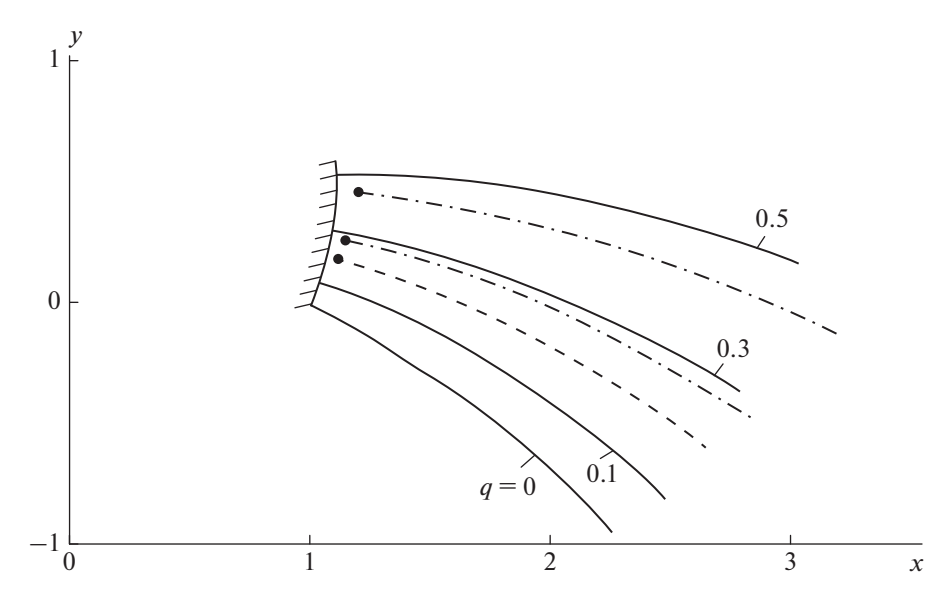
Для системы уравнений, объединяющей уравнения пучка и условия эвклидовости пространства, в двумерном случае удалось выполнить декомпозицию: сформулировать соотношение на трубке тока, имеющее вид обыкновенного дифференциального уравнения второго порядка относительно элемента  $g_{22}$  метрического тензора с производными по  $x^1$ , в которое поперечная координата  $x^2$  входит как параметр, и построить эволюционную систему уравнений первого порядка, выражающих производные по  $x^2$  от геометрических и физических параметров потока через распределения необходимых функций на базовой трубке тока. Это представление позволяет скон-

струировать алгоритмы расчета непараксиальных пучков методом сшивания узких полос или построением высших приближений теории, представляющих собой фрагмент тэйлоровского разложения по поперечной координате  $x^2$ .

При этом возможно рассмотрение задач с произвольной ориентацией магнитного поля на катоде, которые в принципе не поддаются анализу в рамках параксиального формализма.

В работе [8] проведено тестирование двумерных геометризованных моделей на полном наборе известных точных решений уравнений пучка с аддитивным и мультипликативным разделением переменных, продемонстрировавшее преимущество уже первого приближения по сравнению с классическим параксиальным подходом. Расходящийся плоский электростатический поток со спирального катода и спиральными траекториями использован для тестирования в работе [9]. Расчет траекторий [9] на основе первого приближения геометризованной теории иллюстрирует рис. 1, где параметр *q* определяет ширину пучка.

Видно, что приемлемой точности можно добиться для потока с полушириной q=0.3, для которого параксиальный подход является слишком грубым приближением. Ошибка вычисления потенциала составляет при этом 3.4%. Видимые на рис. 1 дефекты решения (смещение траектории и особенно координат катода — первая точка) могут быть существенно уменьшены за счет использования второго приближения как во всем поле течения, так и в прикатодной области: корректировка координат катода уменьшает ошибку их вычисления с 10% на рис. 1 до 0.8%. Использование второ-



**Рис. 1.** Траектории q = const расходящегося спирального потока со спирального катода [9]: сплошные линии — точное решение, штриховая — параксиальная теория, штрих-пунктирные — первое приближение геометризованной теории.

го приближения во всей области течения снижает уровень ошибки вычисления траекторий вдвое. В результате с ошибкой порядка 5% удается рассчитать существенно непараксиальную область течения с перепадом плотности тока на катоде в 3.3 раза.

Относительная консервативность траекторий, иллюстрируемая рисунком, по сравнению с прочими параметрами потока, послужила основанием для построения комбинированных моделей, в которых расчет траекторий в первом приближении сочетается с более подробным описанием прикатодной зоны. В работе [10] подобная модель построена для гиротрона при эмиссии в  $\rho$ -режиме.

Цель работы — формулировка второго приближения теории в случае сплошных осесимметричных и плоскосимметричных релятивистских электронных пучков без внешнего магнитного поля и, следовательно, при отсутствии закрутки или сносовой скорости. Модель включает получение уравнения второго приближения и начальных данных к нему с учетом сингулярности на катоде, присущей ρрежиму эмиссии; построение выражений для второй и четвертой производных плотности тока эмиссии на оси пучка и второй производной кривизны катода. Последняя соответствует четвертым производным функций, определяющих его форму.

Перечисленные параметры позволяют построить адекватную модель прикатодной области.

#### 1. УРАВНЕНИЯ РЕЛЯТИВИСТСКОГО ПУЧКА

Невырожденная базовая трубка тока. Формулировку задачи о сплошном осесимметричном или плоскосимметричном потоке необходимо начинать с уравнений трубчатого пучка при отсутствии внешнего магнитного поля и при произвольной продольной координате  $x^1$  на базовой поверхности  $x^2 = \text{const.}$  Ось сплошного пучка  $x^2 = 0$  является вырожденной трубкой тока, на которой система  $x^i$  локально ортогональна:  $g_{12} = 0$  при  $g_{12,2} \neq 0$ .

В двумерном случае метрический тензор  $g_{ik}$  системы  $x^i$  имеет следующие элементы:

$$g_{11}\equiv h_1^2,~~g_{22}\equiv h_2^2,~~g_{12}=h_1h_2\cos\theta_{12},~~g_{33}\equiv h_3^2,~~(1)$$
 где  $\theta_{12}$  — угол между осями  $x^1,~x^2;~h_3=R$  в осесимметричном и  $h_3=1$  в плоском случаях.

Соотношение на трубке тока определено вы-

$$\frac{\left(1+\tilde{\phi}\right)u^{2}}{\sin\theta_{12}}\left\{\frac{1}{h_{1}}\left(\frac{h_{2,1}}{h_{1}}\right)_{,1}-h_{2}\frac{\theta_{12,1}^{2}}{h_{1}^{2}}-\cos\theta_{12}\left[\frac{1}{h_{1}}\left(\frac{g_{12}}{h_{1}}\right)_{,1}\right]_{,1}\right\}+\frac{1}{h_{1}^{2}}\left(h_{2}\sin\theta_{12}\right)_{,1}\phi_{,1}=$$

$$=h_{2}\sin\theta_{12}\left[-2\left(1+\tilde{\phi}\right)k_{1}^{2}u^{2}+\left(1+\tilde{\phi}\right)k_{1}k_{2}u^{2}+k_{2}tg\theta\frac{1}{h_{1}}\phi_{,1}-\frac{1}{h_{1}}\left(\frac{1}{h_{1}}\phi_{,1}\right)_{,1}-2k_{1}uN-\frac{N^{2}-\tilde{E}_{v}^{2}}{1+\tilde{\phi}}\right]+\frac{h_{20}h_{30}J}{h_{3}\left(1+\tilde{\phi}\right)^{2}u};(2)$$

$$E_{v}=\left(1+\tilde{\phi}\right)k_{1}u^{2}+uN,\ 1+\phi=1/\sqrt{1-u^{2}}.$$

Здесь  $\varphi$ , u — потенциал электрического поля и скорость; N,  $E_v$  — азимутальная компонента напряженности собственного магнитного поля и нормальное электрическое поле на трубке тока;  $k_1$ ,  $k_2$  — ее главные кривизны, причем  $k_2$  отвечает за осесимметричность течения:

$$k_2 = -\cos\theta/R,\tag{3}$$

где  $\theta$  — угол между касательной к трубке тока и осью z цилиндрической системы z, R; для плоских потоков  $k_2 = 0$ .

Главные кривизны поверхности  $x^{1} = \text{const}$  обозначим символами  $\kappa_{1}$ ,  $\kappa_{2}$ 

$$\kappa_2 = \cos \vartheta / R,$$
(4)

причем в отличие от  $k_2$  эта функция на оси z в осесимметричном случае имеет конечную величину, равную  $\kappa_1$ . Частные производные по соответствующей координате обозначаются нижним индексом после запятой; нижний индекс 0 относит величину к катоду  $x^1=0$ . Соотношение (2) и все последующие выражения записаны в релятивистской нормировке, исключающей из уравнений все физические константы используемой системы единиц; тильдой отмечаются члены, исчезающие в нерелятивистском пределе.

Эволюционная система уравнений — вторая часть декомпозиции исходной системы — имеет вид

$$z_{,2} = h_2 \cos \vartheta, \quad R_{,2} = h_2 \sin \vartheta, \quad \vartheta = \theta + \theta_{12};$$

$$\phi_{,2} = h_2 E, \quad E = E_{v} \sin \theta_{12} + \frac{1}{h_1} \phi_{,1} \cos \theta_{12};$$

$$\theta_{,2} = \frac{1}{\sin \theta_{12}} \frac{h_{2,1}}{h_1} + h_2 \cos \theta_{12} k_1 - \frac{\text{ctg} \theta_{12}}{h_1} \left(\frac{g_{12}}{h_1}\right)_{,1},$$

$$h_{1,2} = -h_1 h_2 \sin \theta_{12} k_1 + \left(\frac{g_{12}}{h_1}\right)_{,1};$$

$$u_{,2} = h_2 \sin \theta_{12} \left(k_1 u + \frac{N - u\tilde{E}_{v}}{1 + \tilde{\phi}}\right) + \frac{h_2 \cos \theta_{12}}{u (1 + \tilde{\phi})^3} \frac{\phi_{,1}}{h_1},$$

$$k_{1,2} = \frac{1}{h_1 \sin \theta_{12}} \left(\frac{h_{2,1}}{h_1}\right)_{,1} +$$

$$+ h_2 \sin \theta_{12} k_1^2 + h_2 \cos \theta_{12} \frac{k_{1,1}}{h_1} -$$

$$- \frac{h_2 \theta_{12,1}^2}{h_1^2 \sin \theta_{12}} - \frac{\text{ctg} \theta_{12}}{h_1} \left[\frac{1}{h_1} \left(\frac{g_{12}}{h_1}\right)_{,1}\right],$$

$$(5)$$

$$\begin{split} E_{v,2} &= h_2 \sin \theta_{12} \times \\ &\times \left[ \left( k_1 + k_2 \right) E_v + k_2 \mathrm{tg} \theta \frac{\varphi_{,1}}{h_1} - \frac{1}{h_1} \left( \frac{\varphi_{,1}}{h_1} \right)_{,1} \right] + \\ &\quad + \left( 1 + \tilde{\varphi} \right) u^2 h_2 \cos \theta_{12} \frac{k_{1,1}}{h_1} + \\ &\quad + \frac{\varphi_{,1}}{h_1} \left[ 2k_1 + \frac{1}{1 + \tilde{\varphi}} \left( \frac{N}{u} - E_v \right) \right] + \\ &\quad + k_2 \mathrm{tg} \theta N u - \frac{1}{h_1} \left( h_2 \sin \theta_{12} \right)_{,1} \frac{\varphi_{,1}}{h_1} + \frac{h_{20} h_{30} J}{h_3 u}, \\ N_{,2} &= h_2 k_2 \sin \theta_{12} N \left( 1 + \mathrm{ctg} \theta_{12} \mathrm{tg} \theta \right) + \frac{h_{20} h_{30} J}{h_3}, \\ \theta_{12,1} &= \frac{1}{h_2 \sin \theta_{12}} \left[ \cos \theta_{12} h_{2,1} - \left( \frac{g_{12}}{h_1} \right)_{,1} \right]. \end{split}$$

Обратим внимание на тот факт, что в правых частях уравнений (5) стоят величины, известные на базовой трубке тока. Комплексы типа  $k_{1,1}/h_1$ ,  $h_{2,1}/h_1$  имеют смысл физической составляющей градиента соответствующей величины в продольном направлении.

Уравнения пучка на оси, первое приближение. Локальная ортогональность системы  $x^i$  на оси z ( $g_{12}=0,\;\theta_{12}=\pi/2,\;h_1=1$ ) при  $k_2\to\infty$  в осесимметричном случае и  $k_2=0$  для плоскосимметричных течений приводит к следующим трансформациям уравнения (2):

$$(1 + \tilde{\varphi}) u^{2} h_{2,11} + h_{2,1} \varphi_{,1} + \alpha h_{2} \varphi_{,11} = \beta \frac{b_{0} J}{(1 + \tilde{\varphi})^{2} u},$$

$$\alpha = \begin{cases} 1/2 \\ 1 \end{cases}, \quad \beta = \begin{cases} b_{0}/(2h_{2}) \\ 1 \end{cases}, \quad b_{0} \equiv h_{20},$$
(6)

где верхняя строка в выражениях для  $\alpha$ ,  $\beta$  соответствует осесимметричным потокам, а нижняя — плоским.

Правые части уравнений эволюционной системы на оси *z* обращаются в нуль для четных функций поперечной координаты

$$z_{,2} = 0$$
,  $h_{1,2} = 0$ ,  $h_{2,2} = 0$ ,  $\phi_{,2} = 0$ ,  $u_{,2} = 0$ ,  $J_{,2} = 0$ , (7)

в то время как производные нечетных функций определены выражениями<sup>1</sup>

$$R_{,2} = h_2, \quad \theta_{,2} = h_{2,1}, \quad N_{,2} = \alpha \frac{b_0^2 J}{h_2}, \quad k_{1,2} = h_{2,11},$$

$$E_{\nu,2} = -\alpha h_2 \phi_{,11} - h_{2,1} \phi_{,1} + \beta \frac{b_0 J}{u}; \quad k_1 k_2 = -\frac{k_{1,2}}{h_2}.$$
(8)

Уравнения (8) были использованы при получении соотношения (6).

<sup>&</sup>lt;sup>1</sup> В плоскосимметричном случае символы z, R имеют смысл декартовых координат z, y; x — циклическая координата, аналогичная азимуту  $\psi$  для осесимметричных потоков.

Уравнения пучка на оси, второе приближение. Как соотношения на трубке тока, так и уравнения эволюционной системы высших приближений получаются по единому алгоритму, состоящему в дифференцировании по  $x^2$ , исключении при помощи эволюционной системы предыдущего приближения производных по этой переменной, возникающих в результате дифференцирования, и переходе к оси симметрии с раскрытием неопределенностей, вызванных стремлением  $k_2$  к бесконечности в осесимметричном случае.

Двукратное дифференцирование по  $x^2$  соотношения (2) приводит к уравнению для функции  $h_{2,22}$ , справедливому на оси z:

$$(1+\tilde{\varphi})u^{2} \left[h_{2,2211} - h_{2,11}h_{1,22} - h_{2,1}h_{1,221} - 2h_{2}\theta_{12,21}^{2} - 2(\cos\theta_{12})_{,2}g_{12,211}\right] + \left\{u^{2}\tilde{\varphi}_{,22} + 2(1+\tilde{\varphi})uu_{,22} - (1+\tilde{\varphi})u^{2}\left[h_{1,22} + (\sin\theta_{12})_{,22}\right]\right\}h_{2,11} +$$

$$+ (\varphi_{,221} - 2\varphi_{,1}h_{1,22})h_{2,1} + \varphi_{,1}\left[h_{2,22} + h_{2}(\sin\theta_{12})_{,22}\right]_{,1} =$$

$$= \left[h_{2,22} + h_{2}(\sin\theta_{12})_{,22}\right] \times$$

$$\times \left[(1+\tilde{\varphi})k_{1}k_{2}u^{2} + k_{2}tg\theta\varphi_{,1} - \varphi_{,11}\right] +$$

$$+ h_{2}\left\{-4(1+\tilde{\varphi})k_{1,2}^{2}u^{2} + \tilde{\varphi}_{,22}k_{1}k_{2}u^{2} +$$

$$+ (1+\tilde{\varphi})(k_{1}k_{2})_{,22}u^{2} +$$

$$+ 2(1+\tilde{\varphi})k_{1}k_{2}uu_{,22} + (k_{2}tg\theta)_{,22}\varphi_{,1} +$$

$$+ \kappa_{2}(\varphi_{,221} - \varphi_{,1}h_{1,22}) - \varphi_{,2211} + 2\varphi_{,11}h_{1,22} +$$

$$+ \varphi_{,1}h_{1,221} - 4k_{1,2}uN_{,2} - 2\frac{N_{,2}^{2} - \tilde{E}_{v,2}^{2}}{1+\tilde{\varphi}}\right\} + \frac{h_{30}}{h_{3}} \times$$

$$\times \frac{h_{20}J}{(1+\tilde{\varphi})^{2}u}\left(\frac{J_{,22}}{J} - 2\frac{\tilde{\varphi}_{,22}}{1+\tilde{\varphi}} - \frac{u_{,22}}{u}\right) + \frac{h_{20}J}{(1+\tilde{\varphi})^{2}u}\left(\frac{h_{30}}{h_{3}}\right)_{,22}.$$

Эволюционные уравнения второго приближения принимают вид

$$z_{,22} = -h_2 h_{2,1} + g_{12,2}, \quad \varphi_{,22} = h_2 E_{,2},$$

$$h_{1,22} = -h_2 h_{2,11} + g_{12,21}, \qquad (10)$$

$$u_{,22} = h_2 \left[ h_{2,11} u - \theta_{12,2} \frac{\tilde{\varphi}_{,1}}{(1 + \tilde{\varphi})^3 u} + \frac{N_{,2} - u \tilde{E}_{v,2}}{1 + \tilde{\varphi}} \right].$$

Для входящих в (9) комплексов имеем

$$(\cos \theta_{12})_{,2} = \frac{1}{h_2} g_{12,2}, \quad (\sin \theta_{12})_{,22} = -\left(\frac{g_{12,2}}{h_2}\right)^2,$$

$$\theta_{12,2} = -\frac{g_{12,2}}{h_2}, \quad (k_1 k_2)_{,22} = -\frac{1}{3} \left(h_{2,1} h_{2,111} + 4 h_{2,11}^2 - \frac{1}{h_2} h_{2,1}^2 h_{2,11} + \frac{1}{h_2} h_{2,2211} - \frac{1}{h_2^2} h_{2,11} h_{2,22}\right) +$$

$$+ \frac{1}{3} \left( 2h_{2,111}\theta_{12,2} - \frac{2}{h_2} h_{2,1}h_{2,11}\theta_{12,2} - \frac{2}{h_2} h_{2,11}\theta_{12,2}^2 + \right.$$

$$+ \frac{2}{h_2} h_{2,11}g_{12,21} + \frac{1}{h_2} h_{2,1}g_{12,211} - \frac{2}{h_2} \theta_{12,2}g_{12,211} + 2\theta_{12,21}^2 \right),$$

$$\left( k_2 \operatorname{tg} \theta \right)_{,22} = -\frac{1}{3h_2} \times$$

$$\times \left[ h_{2,221} + h_2 h_{2,1} h_{2,11} - \frac{1}{h_2} h_{2,1} h_{2,22} + 2h_{2,1}^2 \left( \frac{g_{12}}{h_2} \right)^2 - \right.$$

$$- \left. \left( h_{2,1}^2 - h_2 h_{2,11} \right) g_{12,2} - \left( h_{2,1} + \frac{2}{h_2} g_{12,2} \right) g_{12,21} \right],$$

$$\left( \frac{h_{30}}{h_3} \right)_{,22} = \frac{1}{3} \frac{b_0}{h_2} \left[ -\frac{1}{h_2} h_{2,22} + \left( h_{2,1} - \frac{g_{12,2}}{h_2} \right)^2 - b_3^2 \right],$$

$$\left( k_2 k_1 \right)_{,22} = -\frac{1}{3} \frac{1}{h_2} \left( k_{1,222} - \frac{1}{h_2} h_{2,22} k_{1,2} \right) +$$

$$+ \frac{2}{h_2} \left( \frac{1}{3} h_{2,1}^2 - \frac{1}{3} h_{2,1} \theta_{12,2} - \frac{1}{6} \theta_{12,2}^2 \right) k_{1,2},$$

$$k_{1,222} = h_2 h_{2,1} h_{2,111} + 4h_2 h_{2,11}^2 + h_{2,1}^2 h_{2,11} +$$

$$+ h_{2,2211} - 2h_2 \theta_{12,21}^2 - 2h_2 h_{2,111} \theta_{12,2} +$$

$$+ h_{2,11} \theta_{12,2}^2 - 2h_{2,11} g_{12,21} + \left( -h_{2,1} + 2\theta_{12,2} \right) g_{12,211}.$$

Параметры потока. Функции  $h_2$ ,  $h_{2,22}$ , являющиеся решениями уравнений (6), (9), позволяют рассчитать все характеристики потока. Параметрические уравнения  $R = R_e(z)$ ,  $Z = z_e(z)$  границы пучка  $x^2 = \eta = \text{const}$  и потенциала  $\phi = \phi_e(z)$  на ней определены соотношениями

$$R_{e} = R_{2}\eta + \frac{1}{6}R_{222}\eta^{3},$$

$$z_{e} = z + \frac{1}{2}z_{22}\eta^{2} + \frac{1}{24}z_{2222}\eta^{4},$$

$$\varphi_{e} = \varphi(z) + \frac{1}{2}\varphi_{22}\eta^{2} + \frac{1}{24}\varphi_{2222}\eta^{4}.$$
(12)

Развернутые формулы для производных в (12) приведены в [1, 2].

В дальнейшем нам потребуется эволюционное уравнение четвертого порядка для  $h_1$ , вычисляемое по сформулированным выше правилам:

$$h_{1,2222} = -h_{2}h_{2,2211} - 3h_{2,11}h_{2,22} - h_{2}^{2}h_{2,1}h_{2,111} - h_{2}^{2}h_{2,11}^{2} - h_{2}h_{2,1}^{2}h_{2,11} + g_{12,2221} + h_{2}\vartheta_{,2}g_{12,211} + (2h_{2}h_{2,11} + 4h_{2,1}\theta_{12,2})g_{12,21} - g_{12,21}^{2} + (13) + (h_{2}h_{2,111} + 3h_{2,1}h_{2,11})g_{12,2} + 2\left(\frac{h_{2,11}}{h_{2}} + \frac{h_{2,1}^{2}}{h_{2}^{2}}\right)g_{12,2}^{2}.$$

Выражение для  $g_{12,222}$  приведено в [1, 2].

#### 2. МОДЕЛЬ ПРИКАТОДНОЙ ОБЛАСТИ

Форма решения. Решение вблизи стартовой поверхности  $x^1 = 0$  при эмиссии в  $\rho$ -режиме имеет вид разложений по степеням параметра  $\left(x^1\right)^{1/3}$ :

$$h_{1} = a_{0} \left( 1 + \overline{a_{1}} x^{1/3} + \overline{a_{2}} x^{2/3} + \ldots \right),$$

$$h_{2} = b_{0} \left( 1 + \overline{b_{3}} x + \overline{b_{4}} x^{4/3} + \ldots \right),$$

$$h_{3} = R_{0} \left( 1 + \overline{R_{3}} x + \overline{R_{4}} x^{4/3} + \ldots \right),$$

$$g_{12} = G_{1} x^{1/3} + G_{2} x^{2/3} + \ldots,$$

$$\phi = \phi_{4} x^{4/3} \left( 1 + \overline{\phi_{5}} x^{1/3} + \overline{\phi_{6}} x^{2/3} + \ldots \right),$$

$$u = V_{2} x^{2/3} \left( 1 + \overline{V_{3}} x^{1/3} + \overline{V_{4}} x^{2/3} + \ldots \right),$$

$$N = N_{0} + N_{3} x + N_{4} x^{4/3} + \ldots; \quad x \equiv x^{1}.$$

$$(14)$$

Для интегрирования уравнений (6), (9) необходимо задать начальные условия, в силу сингулярности эмитирующей поверхности сводящиеся к построению асимптотик для  $h_2$ ,  $h_{2,22}$  и прочих параметров течения. Вторые производные искомых функций в уравнениях (6), (9) имеют бесконечные значения при  $x^1 = 0$  за счет членов с коэффициентами  $b_4$ ,  $b_5$ , поэтому асимптотики должны включать эти параметры для первого уравнения и производные  $b_{3,22}$ ,  $b_{4,22}$ ,  $b_{5,22}$  для второго.

Из нескольких возможных способов решения второй задачи выберем следующий. Учитывая, что в силу (7) на оси все коэффициенты  $a_k$  имеют нулевые производные

$$a_{k,2} = 0,$$
 (15)

найдем из уравнения (2) выражения для коэффициентов  $\Phi_k$ , связанных с  $b_i$ , сохраняя члены, дающие ненулевой вклад при двукратном дифференцировании по  $x^2$ . Это линейные по  $a_k$ , k>0 слагаемые и квадратичные произведения нечетных функций  $a_{k,2}N_0$ ,  $N_0^2$ ; члены с  $k_{20}$  требуют специального рассмотрения, так как производная  $\left(k_{20}N_0^3\right)_{22}$  отлична от нуля.

Правые части уравнения

$$\varphi_{,2} = h_2 E \tag{16}$$

могут быть вычислены с использованием уравнения (6), не содержащего функций  $a_k$ . Однократное дифференцирование полученных комплексов дает правильный результат в силу выполнения равенств (15) на оси, в то время как левая часть допускает выполнение двукратного дифференцирования коэффициентов  $\phi_k$ , структура которых выявлена заблаговременно. Баланс членов в левой и правой

частях уравнения (15) позволит получить требуемые соотношения.

Предварительные рассмотрения. Баланс членов порядка  $x^{-2/3}$ ,  $x^{1/3}$  в уравнении (2) приводит к следующим значениям первых коэффициентов разложения функций  $\phi$ , u:

$$\phi_{4} = \frac{1}{2} \left( \frac{9a_{0}^{2}J}{2} \right)^{2/3}, \quad \overline{\phi}_{5} = \overline{a}_{1};$$

$$V_{2} = \left( \frac{9a_{0}^{2}J}{2} \right)^{1/3}, \quad \overline{V}_{3} = \frac{1}{2}\overline{a}_{1}.$$
(17)

Выражение для кривизны  $k_1$  позволяет связать разложение для этого параметра с разложениями из (14):

$$k_{1} = \frac{1}{h_{2} \sin \theta_{12}} \left[ \frac{1}{h_{1}} \left( \frac{g_{12}}{h_{1}} \right)_{,1} - \frac{h_{1,2}}{h_{1}} \right] =$$

$$= x^{-2/3} \left( k_{10} + k_{11} x^{1/3} + k_{12} x^{2/3} + \dots \right),$$

$$k_{10} = \frac{1}{3} \frac{1}{a_{0}^{2} b_{0}} G_{1}, \quad k_{11} = \frac{2}{3} \frac{1}{a_{0}^{2} b_{0}} \left( G_{2} - \overline{a}_{1} G_{1} \right);$$

$$\cos \theta_{12} = c_{1} x^{1/3} + c_{2} x^{2/3} + \dots,$$

$$c_{1} = \frac{1}{a_{0} b_{0}} G_{1}, \quad c_{2} = \frac{1}{a_{0} b_{0}} \left( G_{2} - \overline{a}_{1} G_{1} \right).$$
(18)

Разложение для потенциала  $\phi$  начинается со степени 4/3, поэтому в правой части уравнения (16) коэффициенты при слагаемых порядка  $x^{2/3}$ ,  $x^{3/3}$  должны быть обращены в нуль. Возникающие равенства служат для определения функций  $G_1$ ,  $G_2$ :

$$G_1 = -a_0^2 b_0 \overline{N}_0, \ G_2 = -\frac{5}{4} a_0^2 b_0 \overline{a}_1 \overline{N}_0, \ \overline{N}_0 \equiv \frac{N_0}{V_2}.$$
 (19)

Проведенное до конца рассмотрение показывает, что в более полном описании элемента  $g_{12}$  нет необходимости:

$$G_3 = G_4 = \dots = 0.$$
 (20)

Параметрические уравнения произвольной трубки тока в локальных декартовых координатах X, Y(нормаль, касательная к катоду в точке старта) представим в виде

$$Y = Y(l) = f_4 l^{4/3} + f_5 l^{5/3} + ...,$$
  

$$X = X(l) = \int \sqrt{1 - Y'^2} dl,$$
(21)

где l — длина дуги образующей поверхности  $x^2$  = const. Разложение для угла наклона  $\theta$  к оси z выражается через траекторные коэффициенты  $f_k$ :

$$\theta = \theta_0 + \arctan(Y'/X') = \theta_0 + \theta_1 l^{1/3} + \theta_2 l^{2/3} + ...,$$

$$\theta_1 = \frac{4}{3} f_4, \quad \theta_2 = \frac{5}{3} f_5, \quad \theta_3 = 2f_6 + \frac{32}{81} f_4^3.$$
(22)

На трубке тока при  $x^1 \equiv l$ ,  $a_0 = 1$ ,  $a_k = 0$  имеет место соотношение

$$k_1 = \theta_1, \tag{23}$$

позволяющее определить первые траекторные коэффициенты

$$f_4 = -\frac{3}{4}\bar{N}_0, \quad f_5 = 0.$$
 (24)

Рассматривая в выражении для  $k_1$  из (18) члены порядка  $x^0$ ,  $x^{1/3}$ , получаем

$$k_{12} = -\frac{a_{0,2}}{b_0} - \frac{1}{6}\overline{N}_0^3, \quad k_{13} = -\frac{a_{1,2}}{b_0} + \frac{1}{3}\overline{b}_3\overline{N}_0.$$
 (25)

Дальнейшие балансы в (23) с учетом (25) приводят к следующим соотношениям:

$$k_{12} = \theta_3, \quad k_{13} = \frac{4}{3}\theta_4; \quad \frac{a_{0,2}}{b_0} = -2f_6,$$
  

$$\frac{a_{1,2}}{b_0} = -\frac{28}{9}f_7 + \frac{1}{3}\overline{b_3}\overline{N}_0.$$
(26)

Рассмотрим две соседние трубки тока  $x^2=0$  и  $x^2=\eta$ , которые будем отмечать индексами 0,1 с длинами дуг  $l_0, l_1$  и локальными декартовыми системами  $X_0, Y_0$  и  $X_1, Y_1$ . Координаты X, Y и z, R связаны соотношениями

$$\overline{z} \equiv z - z_0 = X \cos \theta_0 - Y \sin \theta_0, 
\overline{R} \equiv R - R_0 = X \sin \theta_0 + Y \cos \theta_0; 
X = \overline{z} \cos \theta_0 + \overline{R} \sin \theta_0, 
Y = -\overline{z} \sin \theta_0 + \overline{R} \cos \theta_0.$$
(27)

Уравнения трубки тока  $x^2 = \eta$  в системе z, R на основании эволюционной системы (5) имеют вид

$$z^{(1)} = z^{(0)} + (h_2 \cos \vartheta)^{(0)} \eta,$$
  

$$R^{(1)} = R^{(0)} + (h_2 \sin \vartheta)^{(0)} \eta.$$
(28)

Координаты точки на катоде, с которой стартует трубка  $x^2 = \eta$ , суть

$$z_0^{(1)} = z_0^{(0)} - (b_0 \sin \theta_0)^{(0)} \eta,$$
  

$$R_0^{(1)} = R_0^{(0)} + (b_0 \cos \theta_0)^{(0)} \eta.$$
(29)

Уравнения базовой трубки тока  $x^2=0$  через функции  $X_0\left(l_0\right),\ Y_0\left(l_0\right)$  с учетом (27) определены соотношениями

$$z^{(0)} - z_0^{(0)} = X_0(l_0)\cos\theta_0^{(0)} - Y_0(l_0)\sin\theta_0^{(0)},$$
  

$$R^{(0)} - R_0^{(0)} = X_0(l_0)\sin\theta_0^{(0)} + Y_0(l_0)\cos\theta_0^{(0)}.$$
(30)

Запишем выражения для  $Y_1$ , используя (27)— (30) и уравнение для  $\theta$  из (5) при  $x^1 = 0$  и ограничившись линейными членами по  $\eta$ :

$$\begin{split} Y_1 &= -\overline{z}^{(1)} \sin \theta_0^{(1)} + \overline{R}^{(1)} \cos \theta_0^{(1)}, \quad \vartheta_0^{(0)} = \frac{\pi}{2} + \theta_0^{(0)}, \\ \overline{z}^{(1)} &= z^{(1)} - z_0^{(1)} = \left[ z^{(0)} + \left( h_2 \cos \vartheta \right)^{(0)} \eta \right] - \\ &- \left[ z_0^{(0)} - b_0^{(0)} \sin \theta_0^{(0)} \right], \quad \overline{R}^{(1)} = R^{(1)} - R_0^{(1)} = \\ &= \left[ R^{(0)} + \left( h_2 \sin \vartheta \right)^{(0)} \eta \right] - \left[ R_0^{(0)} + b_0^{(0)} \cos \theta_0^{(0)} \right], \quad (31) \\ z^{(0)} - z_0^{(0)} &= X_0 \cos \theta_0^{(0)} - Y_0 \sin \theta_0^{(0)}, \\ R^{(0)} - R_0^{(0)} &= X_0 \sin \theta_0^{(0)} + Y_0 \cos \theta_0^{(0)}, \\ Y_1 &= -X_0 \sin \left( \theta^{(1)} - \theta_0^{(0)} \right) + Y_0 \cos \left( \theta^{(1)} - \theta_0^{(0)} \right) + \\ &+ \left[ -h_2^{(0)} \sin \left( \theta_0^{(1)} - \vartheta^{(0)} \right) - b_0^{(0)} \cos \left( \theta_0^{(1)} - \theta_0^{(0)} \right) \right] \eta. \end{split}$$

Учитывая выражения

$$\theta_0^{(1)} - \theta_0^{(0)} = \overline{b_3}^{(0)} \eta,$$

$$\theta^{(1)} - \vartheta^{(0)} = \left[ \theta^{(0)} + b_3^{(0)} \eta \right] - \left[ \frac{\pi}{2} + \theta_0^{(0)} + \vartheta_3^{(0)} x \right] = (32)$$

$$= -\frac{\pi}{2} + \left[ b_3^{(0)} \eta - \vartheta_3^{(0)} x \right],$$

для первой трубки тока получаем

$$Y_1 = -X_0(l_0)b_3^{(0)}\eta + Y_0(l_0) + h_2^{(0)} - b_0^{(0)}.$$
 (33)

Параметрические уравнения (21) базовой поверхности  $x^2 = 0$  вблизи катода описываются соотношениями

$$Y_0 = f_4 l_0^{4/3} + f_5 l_0^{5/3} + f_6 l_0^{6/3} + ...,$$

$$X_0 = l_0 - \frac{8}{15} f_4^2 l_0^{5/3} - \frac{10}{9} f_4 f_5 l_0^{6/3} + ...$$
(34)

Подстановка выражений для  $X_0$ ,  $Y_0$  из (34) в (33) дает

$$Y_{1} = \left[ f_{4}^{(0)} + b_{4}^{(0)} \eta \right] l_{0}^{4/3} +$$

$$+ \left[ f_{5}^{(0)} + \left( b_{5} + \frac{8}{15} b_{3} f_{4}^{2} \right)^{(0)} \eta \right] l_{0}^{5/3} + \dots$$
(35)

Длины дуг  $l_0$ ,  $l_1$  следующим образом связаны друг с другом:

$$l_{1} = \int \left[ a_{0}^{(1)} + a_{1}^{(1)} l_{0}^{1/3} + a_{2}^{(1)} l_{0}^{2/3} + \dots \right] dl_{0},$$

$$a_{0}^{(1)} = 1 + a_{0,2}^{(0)} \eta, \quad a_{1}^{(1)} = a_{1,2}^{(0)} \eta, \quad a_{2}^{(1)} = a_{2,2}^{(0)} \eta, \dots$$

$$l_{0} = l_{1} - \frac{3}{4} a_{1}^{(1)} l_{1}^{4/3} - \frac{3}{5} a_{2}^{(1)} l_{1}^{5/3} + \dots$$
(36)

Переходя от  $l_0$  к  $l_1$  в формуле (35) с учетом (26), (36), получаем

$$Y_{1} = \left[ f_{4}^{(0)} + \left( \overline{b}_{4} + \frac{8}{3} f_{4} f_{6} \right)^{(0)} b_{0}^{(0)} \eta \right] I_{1}^{4/3} + \left[ f_{5}^{(0)} + \left( \overline{b}_{5} + \frac{44}{45} \overline{b}_{3} f_{4}^{2} + \right) + \frac{28}{9} f_{4} f_{7} + \frac{10}{3} f_{5} f_{6} \right]^{(0)} b_{0}^{(0)} \eta I_{1}^{5/3} + \dots$$

$$(37)$$

Пропорциональные  $\eta$  агрегаты в круглых скобках из (37) задают скорость изменения траекторных коэффициентов в  $x^2$ -направлении. Вместе с тем коэффициент  $f_4$  определен через магнитное поле на катоде формулами (24), а  $f_5=0$ ; производные этих коэффициентов по  $x^2$  могут быть получены дифференцированием выражений (24) с использованием уравнения для  $N_{,2}$  эволюционной системы (5):

$$\frac{1}{b_0} f_{4,2} = -\frac{3}{4} \left( k_{20} \overline{N}_0 - \frac{10}{3} \overline{N}_0 f_6 + \frac{1}{4} \overline{N}_0^4 + \frac{2}{9} \widetilde{V}_2^2 \right),$$

$$f_{5,2} = 0.$$
(38)

Приравнивая производные траекторных коэффициентов в (37), (38), получаем выражения для  $\overline{b}_4$ ,  $\overline{b}_5$ :

$$\overline{b}_4 = \frac{1}{b_0} f_{4,2} - \frac{8}{3} f_4 f_6,$$

$$\overline{b}_5 = -\frac{28}{9} f_4 f_7 - \frac{10}{3} f_5 f_6 - \frac{44}{45} \overline{b}_3 f_4^2.$$
(39)

На оси сплошного пучка в осесимметричном и плоском случаях имеем соответственно

$$\overline{b}_4 = -\frac{1}{12}\tilde{V}_2^2, \ \overline{b}_5 = 0; 
\overline{b}_4 = -\frac{1}{6}\tilde{V}_2^2, \ \overline{b}_5 = 0.$$
(40)

Полученная выше информация позволяет перейти к решению основной задачи.

#### 3. ПЛОТНОСТЬ ТОКА ЭМИССИИ И КРИВИЗНА КАТОЛА

Плотность тока. Баланс членов порядка  $x^{4/3}$  в уравнении (16) в случае произвольной продольной координаты приводит к выражению для градиента плотности тока эмиссии

$$\frac{1}{b_0} \frac{J_{,2}}{J} = -5 \frac{a_{0,2}}{a_0 b_0} + \left(6\overline{a}_2 + \frac{15}{16} \overline{a}_1^2\right) \overline{N}_0 - \frac{3}{4} \overline{N}_0^3. \tag{41}$$

Повторное дифференцирование по  $x^2$  с переходом к оси z позволяет получить вторую и четвертую производные, отличные от нуля:

$$\frac{1}{b_0^2} \frac{J_{,22}}{J} = -5 \frac{a_{0,22}}{a_0 b_0^2}, \quad \frac{1}{b_0^4} \frac{J_{,2222}}{J} = -5 \frac{a_{0,2222}}{a_0 b_0^4} + 15 \frac{a_{0,22}^2}{a_0^2 b_0^4} + 18 \frac{\overline{a}_{2,22}}{a_0 b_0^2} \frac{\overline{N}_{0,2}}{b_0} - \frac{9}{2} \frac{\overline{N}_{0,2}^3}{b_0^3}.$$
(42)

Уравнение для  $h_{1,22}$  из (10) приводит к следующим значениям вторых производных  $a_{k,22}$ :

$$\frac{a_{0,22}}{b_0^2} = -2\overline{b}_6, \quad \frac{a_{1,22}}{b_0^2} = -\frac{28}{9}\overline{b}_7 - \frac{4}{9}\overline{b}_3\overline{b}_4, 
\frac{a_{2,22}}{b_0^2} = -\frac{40}{9}\overline{b}_8 - \frac{4}{9}\overline{b}_4^2, \quad \frac{a_{3,22}}{b_0^2} = -6\overline{b}_9 - 2\overline{b}_3\overline{b}_6, 
\frac{a_{4,22}}{b_0^2} = -\frac{70}{9}\overline{b}_{10} - 2\overline{b}_3\overline{b}_7 - \frac{22}{9}\overline{b}_4\overline{b}_6, 
\frac{a_{5,22}}{b_0^2} = -\frac{88}{9}\overline{b}_{11} - \frac{40}{9}\overline{b}_3\overline{b}_8 - \frac{32}{9}\overline{b}_4\overline{b}_7, 
\frac{a_{6,22}}{b_0^2} = -12\overline{b}_{12} - 6\overline{b}_3\overline{b}_9 - \frac{44}{9}\overline{b}_4\overline{b}_8 - 2\overline{b}_6^2.$$
(43)

Формулы (43) справедливы как для осесимметричных, так и для плоских течений.

Уравнение (13) позволяет вычислить производную  $a_{0.2222}$ :

$$\frac{a_{0,2222}}{b_0^4} = -2\frac{b_{6,22}}{b_0^3} - 6\overline{b_3}\overline{b_9} - 4\overline{b_6}^2 + 
+ \frac{\overline{N}_{0,2}}{b_0} \left(\frac{56}{27}\overline{b_8} - \frac{52}{27}\overline{b_4}^2\right) + \frac{4}{9}\frac{\overline{N}_{0,2}^2}{b_0^2}\overline{b_4}.$$
(44)

*Кривизна катода.* В силу локальной ортогональности системы  $x^1$ ,  $x^2$  при  $x^1 = 0$  для вычисления вторых производных главных кривизн на оси можно пользоваться выражениями, записанными в ортогональной системе [1, 2]:

$$\kappa_1 = -\frac{1}{h_1} \frac{h_{2,1}}{h_2}, \quad \kappa_2 = -\frac{1}{h_1} \frac{h_{3,1}}{h_3} = -\frac{\sin \theta}{R}.$$
(45)

Двукратное дифференцирование по  $x^2$  приводит к следующему результату:

$$\kappa_{1,22} = -\frac{1}{h_2} h_{2,221} + \frac{1}{h_2^2} h_{2,1} h_{2,22} + \frac{1}{h_2} h_{2,1} h_{1,22},$$

$$\kappa_2 = -\frac{1}{h_2} \left[ \theta_{,2} + \frac{1}{6} \left( \theta_{,222} - \theta_{,2}^3 - \frac{1}{h_2} \theta_{,2} R_{,222} \right) \eta^2 \right],$$

$$\theta_{,2} = \frac{h_{2,1}}{h_1}, \quad \theta_{,222} = h_{2,221} - h_{2,1} h_{1,22},$$

$$R_{,222} = h_{2,22} - h_2 \theta_{,2}^2,$$

$$\kappa_{2,22} = \frac{1}{3} \left( -\frac{1}{h_2} h_{2,221} + \frac{1}{h_2^2} h_{2,1} h_{2,22} + \frac{1}{h_2} h_{2,1} h_{1,22} \right).$$
(46)

При  $x^1 = 0$  для производных кривизн с учетом (43) получаем

$$\frac{\kappa_{10,22}}{b_0^2} = 3 \frac{\kappa_{20,22}}{b_0^2} = -\frac{\overline{b}_{3,22}}{b_0^2} + \overline{b}_3 \frac{a_{0,22}}{b_0^2} = \\
= -\left(\frac{\overline{b}_{3,22}}{b_0^2} + 2\overline{b}_3\overline{b}_6\right); \quad \kappa_{10} = -\overline{b}_3.$$
(47)

Таким образом, для решения поставленной задачи при описании прикатодной области необходимо найти функции  $\overline{b}_{3,22}$ ,  $\overline{b}_{6,22}$ .

#### 4. НАЧАЛЬНЫЕ ДАННЫЕ ДЛЯ УРАВНЕНИЯ ВТОРОГО ПРИБЛИЖЕНИЯ

Коэффициенты  $\varphi_k$  с возможностью двукратного дифференцирования по  $x^2$ . Выполняя намеченную в разд. 2 программу, рассмотрим общий случай соотношения (2). Выпишем уравнения, связывающие коэффициенты разложения потенциала и скорости, следующие из интеграла энергии:

$$\overline{\phi}_{6} = 2\overline{V_{4}} + \overline{V_{3}}^{2}, \ \overline{\phi}_{7} = 2\overline{V_{5}} + 2\overline{V_{3}}\overline{V_{4}},$$

$$\overline{\phi}_{8} = 2\overline{V_{6}} + 2\overline{V_{3}}\overline{V_{5}} + \overline{V_{4}}^{2} + \frac{3}{4}\tilde{V_{2}}^{2},$$

$$\overline{\phi}_{9} = 2\overline{V_{7}} + 2\overline{V_{3}}\overline{V_{6}} + 2\overline{V_{4}}\overline{V_{5}} + 3\overline{V_{3}}\tilde{V_{2}}^{2},$$

$$\overline{\phi}_{10} = 2\overline{V_{8}} + 2\overline{V_{3}}\overline{V_{7}} + 2\overline{V_{4}}\overline{V_{6}} + \overline{V_{5}}^{2} - \overline{\phi}_{6}\tilde{\phi}_{4} - \frac{1}{2}\overline{\phi}_{5}^{2}\tilde{\phi}_{4} + \left(2\overline{\phi}_{6} + 2\overline{V_{3}}\overline{V_{5}}\right)\tilde{V_{2}}^{2},$$

$$\overline{\phi}_{11} = 2\overline{V_{9}} + 2\overline{V_{5}}\overline{V_{6}} + 3\overline{V_{5}}\tilde{V_{2}}^{2}, \quad \overline{\phi}_{12} = 2\overline{V_{10}} + \overline{V_{6}}^{2} + \frac{3}{8}\tilde{V_{6}}\tilde{V_{2}}^{2} + \frac{5}{8}\tilde{V_{2}}^{4}, \quad \overline{\phi}_{13} = 2\overline{V_{11}} + 2\overline{V_{5}}\overline{V_{8}},$$

$$\overline{\phi}_{14} = 2\overline{V_{12}} + 2\overline{V_{5}}\overline{V_{9}} + 2\overline{V_{6}}\overline{V_{8}} + \frac{3}{2}\left(2\overline{V_{8}} + 3\overline{V_{5}}^{2}\right)\tilde{V_{2}}^{2},$$

$$\overline{\phi}_{15} = 2\overline{V_{13}} + 2\overline{V_{5}}\overline{V_{10}} + 2\overline{V_{6}}\overline{V_{9}} + \frac{15}{4}\overline{V_{5}}\tilde{V_{2}}^{4},$$

$$\overline{\phi}_{16} = 2\overline{V_{14}} + 2\overline{V_{5}}\overline{V_{11}} + 2\overline{V_{6}}\overline{V_{10}} + \overline{V_{8}}^{2} + \frac{3}{2}\left(2\overline{V_{10}} + 3\overline{V_{6}}^{2}\right)\tilde{V_{2}}^{2} + \frac{15}{4}\overline{V_{6}}\tilde{V_{2}}^{4} + \frac{35}{64}\tilde{V_{2}}^{6}.$$

Начиная с  $\overline{\varphi}_{11}$  приведенные соотношения справедливы только на оси z.

Балансы членов в уравнении (2) (первый баланс — члены порядка  $x^0$ ) приводят к следующим выражениям для коэффициентов  $\overline{\phi}_k$  и для  $\overline{V}_k$ , необходимых в дальнейшем

$$\begin{split} \overline{\phi}_6 &= \frac{4}{5} \overline{a}_2 - \frac{3}{10} \, \overline{N}_0^2, \quad \overline{\phi}_7 = \frac{2}{3} \overline{a}_3 + \frac{8}{15} a_0 T_0, \\ T_0 &= \kappa_{10} + \kappa_{20}, \quad \overline{\phi}_8 = \frac{4}{7} \overline{a}_4 + a_0 \overline{a}_1 \left( \frac{13}{30} \kappa_{10} + \frac{14}{15} \kappa_{20} \right) - \\ &- \frac{2}{3} \overline{b}_4 + a_0 \overline{N}_0 \left( \frac{2}{7} \frac{a_{0,2}}{a_0 b_0} - \frac{1}{2} k_{20} \right) - \frac{5}{84} \tilde{V}_2^2, \\ \overline{\phi}_9 &= \frac{1}{2} \overline{a}_5 + a_0 \overline{a}_2 \left( \frac{289}{1050} \kappa_{10} + \frac{56}{75} \kappa_{20} \right) - \\ &- \frac{23}{42} \overline{a}_1 \overline{b}_4 - a_0 \overline{a}_1 k_{20} \overline{N}_0 - \frac{5}{42} \overline{a}_1 \tilde{V}_2^2 - \frac{11}{14} \overline{b}_5 + \\ &+ \frac{3}{14} \, \overline{N}_0 \, \frac{a_{1,2}}{a_0 b_0} + a_0 \overline{N}_0^2 \left( \frac{449}{700} \kappa_{10} - \frac{233}{350} \kappa_{20} \right), \end{split}$$

$$\begin{split} \overline{\phi}_{10} &= \frac{4}{9} \overline{a}_6 + a_0 \overline{a}_3 \left( \frac{8}{45} \kappa_{10} + \frac{28}{45} \kappa_{20} \right) - \\ &- \frac{16}{45} \overline{a}_2 \overline{b}_4 - \frac{3}{5} a_0 \overline{a}_2 k_{20} \overline{N}_0 - \frac{2}{21} \overline{a}_2 \tilde{V}_2^2 - \frac{8}{9} \overline{b}_6 + \\ &+ \frac{83}{225} a_0^2 \left( \kappa_{10}^2 + \kappa_{20}^2 \right) + \frac{157}{450} a_0^2 \kappa_{10} \kappa_{20} - \frac{1}{2} \frac{a_{0,2}^2}{a_0^2 b_0^2} - \\ &- \frac{4}{9} a_0^2 k_{20} \frac{a_{0,2}}{a_0 b_0} + \frac{1}{6} \overline{N}_0 \frac{a_{2,2}}{a_0 b_0} - \frac{99}{160} \overline{b}_4 \overline{N}_0^2 + \\ &+ \frac{733}{3780} \overline{N}_0^2 \tilde{V}_2^2 + \frac{101}{360} a_0 k_{20} \overline{N}_0^3; \quad \overline{V}_4 = \frac{2}{5} \overline{a}_2 - \frac{3}{20} \overline{N}_0^2, \\ \overline{V}_5 &= \frac{1}{3} \overline{a}_3 + \frac{4}{15} a_0 T_0, \quad \overline{V}_6 = \frac{2}{7} \overline{a}_4 + \\ &+ a_0 \overline{a}_1 \left( \frac{1}{12} \kappa_{10} + \frac{1}{3} \kappa_{20} \right) - \frac{1}{3} \overline{b}_4 + \\ &+ a_0 \overline{N}_0 \left( \frac{1}{7} \frac{a_{0,2}}{a_0 b_0} - \frac{1}{4} k_{20} \right) - \frac{17}{42} \tilde{V}_2^2, \\ \overline{V}_7 &= \frac{1}{4} \overline{a}_5 + a_0 \overline{a}_2 \left( \frac{13}{420} \kappa_{10} + \frac{4}{15} \kappa_{20} \right) - \\ &- \frac{3}{28} \overline{a}_1 \overline{b}_4 - \frac{3}{8} a_0 \overline{a}_1 k_{20} \overline{N}_0 - \frac{17}{28} \overline{a}_1 \tilde{V}_2^2 - \frac{11}{28} \overline{b}_5 + \\ &+ \frac{3}{28} \overline{N}_0 \frac{a_{1,2}}{a_0 b_0} + a_0 \overline{N}_0^2 \left( \frac{101}{280} \kappa_{10} - \frac{41}{140} \kappa_{20} \right). \end{split}$$

Балансы уравнения  $\Phi_{,22} = (h_2 E)_{,2}$ . Формула (41) выражала баланс членов порядка  $x^{4/3}$  в уравнении (16). При рассмотрении членов более высокого порядка используются формулы

$$\begin{aligned}
& \Phi_{k,2} = \frac{1}{2} V_2^2 \left[ \overline{\Phi}_{k,2} + \overline{\Phi}_k \left( \frac{4}{3} \frac{a_{0,2}}{a_0} + \frac{2}{3} \overline{J}_{,2} \right) \right], \ \overline{J}_{,2} \equiv \frac{J_{,2}}{J}; \\
& \Phi_{k,22} = \frac{1}{2} V_2^2 \left[ \overline{\Phi}_{k,22} + \overline{\Phi}_k \left( \frac{4}{3} \frac{a_{0,22}}{a_0} + \frac{2}{3} \overline{J}_{,22} \right) \right], \quad (50) \\
& \overline{J}_{,22} \equiv \frac{J_{,22}}{J}.
\end{aligned}$$

Приравняв в (16) члены порядка  $x^{5/3}...x^{10/3}$ , выполнив однократное дифференцирование по  $x^2$  полученных таким образом правых частей и двукратное дифференцирование функций  $\varphi_k$  из (49) в левых частях, приходим к следующим соотношениям:

$$\begin{split} \frac{a_{1,22}}{b_0^2} &= \frac{1}{9}V_2^2 \left( -\frac{46}{45} \, \kappa_{10} + \frac{14}{45} \, \kappa_{20} \right), \\ \frac{a_{2,22}}{b_0^2} &= \frac{80}{63} \overline{b_4} \frac{\overline{N}_{0,2}}{b_0} + \frac{3}{14} \frac{\overline{N}_{0,2}^2}{b_0^2} - \frac{1}{6} \left( k_{20} \overline{N}_0^2 \right)_{,2} - \frac{10}{63} \frac{\overline{N}_{0,2}}{b_0} \tilde{V}_2^2, \\ \frac{\overline{b}_{3,22}}{b_0^2} &= -5 \overline{b_9} - \frac{13}{2} \, \overline{b_3} \overline{b_6}, \end{split}$$

$$\begin{split} & \frac{\overline{b}_{4,22}}{b_0^2} = \frac{3}{2} \left[ \frac{9}{7} \frac{\overline{a}_{4,22}}{b_0^2} + \left( -\frac{61}{21} \frac{\overline{N}_{0,2}}{b_0} + \frac{11}{42} \tilde{V}_2^2 \right) \overline{b}_6 + \right. \\ & + \left( -\frac{23}{270} \kappa_{10}^2 + \frac{434}{18225} \kappa_{20}^2 - \frac{1907}{36450} \kappa_{10} \kappa_{20} \right) \tilde{V}_2^2 + \\ & + \left( \frac{77}{90} \kappa_{10}^2 + \frac{53}{90} \kappa_{20}^2 + \frac{403}{450} \kappa_{10} \kappa_{20} \right) \frac{\overline{N}_{0,2}}{b_0} - \\ & - \frac{1}{4} \frac{1}{b_0^2} \left( a_0 \overline{N}_0 k_{20} \right)_{,22} - \frac{7}{6} k_{20} \frac{a_{0,2}}{b_0} \frac{\overline{N}_{0,2}}{b_0} \right]. \end{split}$$
 (51)

Члены с  $k_{20}$ , присущие осесимметричной задаче, раскрываются следующим образом:

$$\cos\theta = 1 - \frac{1}{2}b_{3}^{2}\eta^{2} + 0 \cdot \eta^{3}, \quad R = b_{0}\eta - \frac{1}{6}b_{0}b_{3}^{2}\eta^{3},$$

$$N_{0} = N_{0,2}\eta + \frac{1}{6}N_{0,222}\eta^{3}, \quad \frac{1}{b_{0}^{3}}N_{0,222} = -\kappa_{10}\kappa_{20}\frac{1}{b_{0}}N_{0,2},$$

$$a_{0}\overline{N}_{0}k_{20} = \left(\frac{9J}{2}\right)^{-1/3}a_{0}^{4/3}N_{0}\left(-\frac{\cos\theta}{R}\right),$$

$$\frac{1}{b_{0}}N_{0,2} = J - \frac{\cos\theta}{R_{0}}N_{0}, \quad a_{0} = 1 + \frac{1}{2}a_{0,22}\eta^{2},$$

$$\frac{1}{b_{0}}\overline{N}_{0,2} = \frac{1}{9}\tilde{V}_{2}^{2}, \quad a_{0}\overline{N}_{0}k_{20} = -\frac{a_{0}^{2}N_{0,2}}{V_{2}}\times$$

$$\times \left(1 + \frac{2}{3}\frac{a_{0,22}}{a_{0}}\eta^{2}\right)\eta\left(1 + \frac{1}{6}\frac{N_{0,222}}{N_{0,2}}\eta^{2}\right)\times$$

$$\times \left(1 - \frac{1}{6}\overline{J}_{,22}\eta^{2}\right)\left(1 - \frac{1}{2}b_{3}^{2}\eta^{2}\right)\frac{1}{b_{0}\eta}\left(1 + \frac{1}{6}b_{3}^{2}\eta^{2}\right);$$

$$-\frac{1}{4}\frac{1}{b_{0}^{2}}\left(a_{0}\overline{N}_{0}k_{20}\right)_{,22} - \frac{7}{6}k_{20}\frac{a_{0,2}}{b_{0}}\frac{\overline{N}_{0,2}}{b_{0}} = -\frac{23}{54}\overline{b}_{6}\tilde{V}_{2}^{2}.$$

Последнее выражение получено с учетом значения  $\bar{N}_{0,2}$  в осесимметричном случае из (8).

Продолжая рассмотрение уравнения  $\phi_{,2} = h_2 E$ , для  $\phi_{9,22}$  имеем ( $\phi_9 = 0$  на оси):

$$\begin{split} \frac{\overline{b}_{5,22}}{b_0^2} &= \frac{28}{11} \left\{ \frac{5}{4} \frac{\overline{a}_{5,22}}{b_0^2} + \left( \frac{1409}{2100} \kappa_{10} + \frac{68}{75} \kappa_{20} \right) \frac{a_{2,22}}{b_0^2} + \right. \\ &\quad + \left( -\frac{23}{84} \overline{b}_4 + \frac{3}{14} \frac{\overline{N}_{0,2}}{b_0} - \frac{65}{252} \widetilde{V}_2^2 \right) \frac{a_{1,22}}{b_0^2} + \\ &\quad + \left( \frac{449}{700} \kappa_{10} - \frac{233}{350} \kappa_{20} \right) \frac{\overline{N}_{0,2}^2}{b_0^2} + \\ &\quad + \left[ \left( -\frac{4}{15} \overline{b}_4 - \frac{379}{5670} \widetilde{V}_2^2 \right) \kappa_{10} - \left( \frac{19}{15} \overline{b}_4 - \frac{1318}{2835} \widetilde{V}_2^2 \right) \kappa_{20} \right] \times \\ &\quad \times \frac{\overline{N}_{0,2}}{b_0} + \left( \frac{11}{6} \overline{\phi}_{11} - \frac{1}{3} \overline{V}_9 - \overline{b}_7 \right) \frac{\overline{N}_{0,2}}{b_0} - \frac{1}{2} \frac{1}{b_0^2} \left( a_1 \overline{N}_0 k_{20} \right)_{,22} + \\ &\quad + \left[ k_{20} \overline{N}_0 \left( \frac{31}{70} \kappa_{10} \overline{N}_0 + \frac{1}{5} \kappa_{20} \overline{N}_0 + \frac{9}{28} \frac{a_{1,2}}{b_0} \right) \right]_{,2} \right\}. \end{split}$$

Члены с производными, обязанными осесимметричности, раскрываются так:

$$a_{1}\overline{N}_{0}k_{20} = -\frac{1}{2}a_{1,22}\eta^{2}\frac{a_{0}N_{0,2}}{V_{2}}\eta\left(1 + \frac{1}{3}\frac{a_{0,22}}{a_{0}}\eta^{2}\right) \times \left(1 + \frac{1}{6}\frac{N_{0,222}}{N_{0,2}}\eta^{2}\right) \times \left(1 - \frac{1}{6}\overline{J}_{,22}\eta^{2}\right) \left(1 - \frac{1}{2}b_{3}^{2}\eta^{2}\right) \times \left(1 + \frac{1}{6}b_{3}^{2}\eta^{2}\right) \times \left(1 + \frac{1}{6}b_{3}^{2}\eta^{2}\right) = -\frac{1}{9}a_{1,22}\tilde{V}_{2}^{2}\eta^{2},$$

$$\left(a_{1}\overline{N}_{0}k_{20}\right)_{,22} = -\frac{2}{9}a_{1,22}\tilde{V}_{2}^{2}, \left(k_{20}\overline{N}_{0}^{2}\right)_{,2} = -\overline{N}_{0,2}^{2},$$

$$\left(a_{1,2}k_{20}\overline{N}_{0}\right) = -a_{1,22}\overline{N}_{0,2}.$$

$$(54)$$

В соответствии с формулами (42)—(44) нам необходимо вычислить производную  $\bar{b}_{6,22}$  и коэффициент  $\bar{b}_{12}$ . Обозначим через  $\bar{B}_{6,22}$  фрагмент функции  $\bar{b}_{6,22}$ , общий для осесимметричных и плоских течений и через  $\bar{\beta}_{6,22}$  слагаемые, присущие осесимметричным потокам. Баланс членов порядка  $x^{10/3}$ , позволяющий рассчитать четвертую производную плотности тока эмиссии, приводит к следующему результату:

$$\frac{4}{9} \frac{\overline{B}_{6,22}}{b_0^2} = \frac{83}{225} \frac{1}{b_0^2} \left( \kappa_{10} \kappa_{10,22} + \kappa_{20} \kappa_{20,22} \right) + \\
+ \frac{157}{900} \frac{1}{b_0^2} \left( \kappa_{20} \kappa_{10,22} + \kappa_{10} \kappa_{20,22} \right) - \left( 6\overline{b}_9 + 2\overline{b}_3 \overline{b}_6 \right) \times \\
\times \left( \frac{28}{45} \kappa_{10} + \frac{38}{45} \kappa_{20} \right) - 2\overline{b}_6 \left[ \frac{383}{225} \left( \kappa_{10}^2 + \kappa_{20}^2 \right) \right] \\
+ \frac{73}{50} \kappa_{10} \kappa_{20} + \frac{4}{9} \frac{\overline{N}_{0,2}}{b_0} \right] - \frac{2}{9} \overline{b}_6^2 + \frac{11}{9} \frac{a_{6,22}}{b_0^2} + \\
+ \left( \frac{332}{225} \kappa_{10}^2 + \frac{272}{225} \kappa_{20}^2 + \frac{254}{225} \kappa_{10} \kappa_{20} - \frac{1}{3} \overline{V}_{10} + \right) \\
+ 2\overline{\phi}_{12} - \frac{1405}{10206} \overline{b}_4^2 + \frac{1445}{3402} \overline{b}_4 \tilde{V}_2^2 - \frac{3364}{35721} \tilde{V}_2^4 \right) \times \\
\times \frac{\overline{N}_{0,2}}{b_0} + \left( -\frac{92}{135} \overline{b}_4 + \frac{733}{3780} \tilde{V}_2^2 \right) \frac{\overline{N}_{0,2}^2}{b_0^2} + \\
+ \frac{32506}{178605} \overline{b}_4 \tilde{V}_2^4 - \frac{115}{23814} \tilde{V}_2^6. \tag{55}$$

Функция  $\overline{eta}_{6,22} / b_0^2$  определена выражением

$$\begin{split} \frac{4}{9} \frac{\overline{\beta}_{6,22}}{b_0^2} &= -\frac{2}{9} \frac{1}{b_0^2} \left( a_0 k_{20} \frac{a_{0,2}}{b_0} \right)_{,22} - \frac{15}{64} \frac{1}{b_0^2} \left( a_0 k_{20} \overline{N}_0^3 \right)_{,22} - \\ &\qquad \qquad - \frac{3}{10} \frac{1}{b_0^2} \left( \overline{a}_2 a_0 k_{20} \overline{N}_0 \right)_{,22} - \\ &\qquad \qquad - \frac{1}{b_0} \left( \frac{11}{40} k_{20} \overline{N}_0 \frac{a_{2,2}}{b_0} - \frac{263}{360} \overline{b}_4 k_{20} \overline{N}_0^2 + \\ &\qquad \qquad + \frac{1}{6} k_{20}^2 \overline{N}_0^3 + \frac{29}{72} k_{20} \overline{N}_0^2 \widetilde{V}_2^2 \right)_{,2} + \frac{16}{9} \left( 2\overline{b}_6 - \frac{\overline{N}_{0,2}}{b_0} \right) \times \end{split}$$

$$\times a_0 k_{20} \frac{a_{0,2}}{b_0} - \frac{271}{1440} \frac{\overline{N}_0^2}{b_0^2} a_0 \overline{N}_0 k_{20} =$$

$$= 8\overline{b}_0^2 + \frac{8}{27} \overline{b}_3^2 \overline{b}_6 - \frac{32}{81} \overline{b}_6 \widetilde{V}_2^2 + \frac{476977}{7348320} \widetilde{V}_2^6.$$

$$(56)$$

Функции  $a_{k,22}$  из (43) при получении асимптотики для уравнения второго приближения (9) относительно  $h_{2,22}$  и расчете четвертой производной плотности тока эмиссии (уравнения (51), (53)—(56)) выражаются через коэффициенты  $\overline{\phi}_k$ ,  $\overline{b}_k$ , связь между которыми устанавливает справедливое на оси z уравнение (6). Поскольку это уравнение имеет различный вид для плоских и осесимметричных течений, два варианта потоков приходится рассматривать раздельно.

Сопоставление уравнений для  $\bar{a}_{1,22}$ ,  $\bar{a}_{2,22}$  из (43), (51) позволяет вычислить значения функций  $\bar{b}_7$ ,  $\bar{b}_8$ , в то время как определение прочих  $\bar{b}_k$  — отдельная задача:

$$\overline{b}_{7} = -\frac{1}{7}\overline{b}_{3}\overline{b}_{4} + \left(\frac{23}{630}\kappa_{10} - \frac{1}{90}\kappa_{20}\right)\widetilde{V}_{2}^{2},$$

$$\overline{b}_{8} = -\frac{1}{10}\overline{b}_{4}^{2} - \frac{2}{7}\overline{b}_{4}\frac{\overline{N}_{0,2}}{b_{0}} + \frac{3}{112}\left(k_{20}\overline{N}_{0}^{2}\right)_{,2} - (57)$$

$$-\frac{27}{560}\frac{\overline{N}_{0,2}^{2}}{b_{0}^{2}} + \frac{3}{112}\left(k_{20}\overline{N}_{0}^{2}\right)_{,2}.$$

### 5. СВЯЗЬ ФУНКЦИЙ $\overline{\mathbf{\phi}}_k$ И $\overline{b_k}$ НА ОСИ ПУЧКА

Плоские потоки. Предварим рассмотрение балансов в уравнении (6) специализацией уже полученных результатов:

$$\bar{b}_{4} = -\frac{1}{6}\tilde{V}_{2}^{2}, \quad \frac{\bar{N}_{0,2}}{b_{0}} = \frac{2}{9}\tilde{V}_{2}^{2}, \quad \bar{b}_{7} = \frac{4}{315}\kappa_{10}\tilde{V}_{2}^{2}, 
\bar{b}_{8} = \frac{101}{7560}\tilde{V}_{2}^{4}, \quad \bar{\varphi}_{8} = \frac{13}{252}\tilde{V}_{2}^{2}, \quad \bar{V}_{6} = -\frac{22}{63}\tilde{V}_{2}^{2}, 
\frac{a_{1,22}}{b_{0}^{2}} = -\frac{46}{405}\kappa_{10}\tilde{V}_{2}^{2}, \quad \frac{a_{2,22}}{b_{0}^{2}} = -\frac{122}{1701}\tilde{V}_{2}^{4}; 
\frac{\bar{b}_{4,22}}{b_{0}^{2}} = \frac{3}{2}\left(\frac{9}{7}\frac{\bar{a}_{4,22}}{b_{0}^{2}} - \frac{145}{378}\bar{b}_{6}\tilde{V}_{2}^{2} + \frac{17}{162}\kappa_{10}\tilde{V}_{2}^{2}\right), 
\frac{\bar{b}_{5,22}}{b_{0}^{2}} = \frac{28}{11}\left[\frac{5}{4}\frac{\bar{a}_{5,22}}{b_{0}^{2}} + \frac{1409}{2100}\kappa_{10}\frac{a_{2,22}}{b_{0}^{2}} - \frac{83}{504}\frac{a_{1,22}}{b_{0}^{2}}\tilde{V}_{2}^{2} + \frac{\bar{N}_{0,2}}{b_{0}}\times \right] 
\times \left(\frac{449}{700}\frac{\bar{N}_{0,2}}{b} - \frac{127}{5670}\kappa_{10}\tilde{V}_{2}^{2} + \frac{11}{6}\bar{\varphi}_{11} - \frac{1}{3}\bar{V}_{9} - \bar{b}_{7}\right),$$
(58)

$$\begin{split} & \frac{\overline{b}_{6,22}}{b_0^2} = \frac{9}{4} \left[ \frac{11}{9} \frac{\overline{a}_{6,22}}{b_0^2} + \frac{17}{9} \overline{b}_3 \overline{b}_9 - \frac{2839}{450} \overline{b}_3^2 \overline{b}_6 - \frac{2}{9} \overline{b}_6^2 + \right. \\ & + \frac{3487}{11340} \frac{\overline{N}_{0,2}^2}{b_0^2} \tilde{V}_2^2 + \frac{\overline{N}_{0,2}}{b_0} \left( -\frac{8}{9} \overline{b}_6 + \frac{332}{225} \overline{b}_3^2 + \right. \\ & + 2\overline{\phi}_{12} - \frac{1}{3} \overline{V}_{10} - \frac{1405}{10206} \overline{b}_4^2 + \frac{1445}{3402} \overline{b}_4 \tilde{V}_2^2 - \\ & - \frac{3364}{35721} \tilde{V}_2^4 \right) - \frac{769}{21870} \tilde{V}_2^6 \right]. \end{split}$$

Выпишем балансы уравнения (6), начиная с членов порядка  $x^{4/3}$ :

$$\begin{split} \overline{\phi}_{10} &= -\frac{8}{9} \overline{b}_6 + \frac{83}{225} \overline{b}_3^2, \quad \overline{\phi}_{11} = -\frac{44}{45} \overline{b}_7 - \\ &- \frac{584}{675} \overline{b}_4 T_0 + \frac{152}{315} T_0 \tilde{V}_2^2, \\ \overline{\phi}_{12} &= -\frac{58}{55} \overline{b}_8 + \frac{321}{21560} \tilde{V}_2^4, \\ \overline{\phi}_{13} &= \frac{37}{33} \left( -\overline{b}_9 - \frac{413}{370} \overline{b}_3 \overline{\phi}_{10} + \frac{39911}{249750} \overline{b}_3^3 \right), \\ \overline{\phi}_{14} &= \frac{9}{78} \left( -\frac{92}{9} \overline{b}_{10} - \frac{224}{45} \overline{b}_3 \overline{\phi}_{11} + \right. \\ &+ \frac{23}{56} \overline{\phi}_{10} \overline{V}_2^2 - \frac{1381}{56700} \overline{b}_3^2 \tilde{V}_2^2 \right), \\ \overline{\phi}_{15} &= \frac{9}{91} \left( -\frac{112}{9} \overline{b}_{11} - \frac{364}{45} \overline{b}_3 \overline{\phi}_{12} + \right. \\ &+ \frac{244}{189} \overline{\phi}_{11} \overline{V}_2^2 + \frac{5078}{178605} \overline{b}_3 \tilde{V}_2^4 \right); \\ \overline{b}_{12} &= -\frac{1}{134} \left[ 105 \overline{\phi}_{16} + \frac{853}{10} \overline{b}_3 \overline{\phi}_{13} - \right. \\ &- \left( 11 \overline{\phi}_{12} + \frac{89}{21} \overline{V}_{10} \right) \tilde{V}_2^2 - \frac{3}{4} \overline{\phi}_{10}^2 + \right. \\ &+ \left. \left( 83\overline{b}_6 + \frac{8}{25} \overline{b}_3^2 \right) \overline{\phi}_{10} - \frac{145}{63} \overline{\phi}_8 \tilde{V}_2^4 + 2 \overline{V}_6^3 + \right. \\ &+ \left. \left( -\frac{331}{63} \overline{b}_8 + \frac{8035}{7938} \overline{b}_4 \tilde{V}_2^2 - \frac{5}{2} \overline{V}_6^2 - \frac{9}{4} \overline{V}_6 \tilde{V}_2^2 - \right. \\ &- \frac{31}{4} \tilde{V}_2^4 \right) \tilde{V}_2^2 - \frac{796}{15} \overline{b}_3 \overline{b}_9 - \frac{5632}{354375} \overline{b}_3^4 \right]. \end{split}$$

Осесимметричные потоки. Формулы для параметров осесимметричного течения, аналогичные (58), имеют вид<sup>2</sup>

$$\overline{b}_{4} = -\frac{1}{12}\widetilde{V}_{2}^{2}, \quad \frac{\overline{N}_{0,2}}{b_{0}} = \frac{1}{9}\widetilde{V}_{2}^{2}, \quad \overline{b}_{7} = \frac{17}{1260} \kappa_{10}\widetilde{V}_{2}^{2}, 
\overline{b}_{8} = \frac{151}{30240}\widetilde{V}_{2}^{4}, \quad \overline{\varphi}_{8} = \frac{13}{252}\widetilde{V}_{2}^{2}, \quad \overline{V}_{6} = -\frac{22}{63}\widetilde{V}_{2}^{2}, 
\frac{a_{1,22}}{b_{0}^{2}} = \frac{32}{405} \kappa_{10}\widetilde{V}_{2}^{2}, \quad \frac{a_{2,22}}{b_{0}^{2}} = -\frac{43}{1701}\widetilde{V}_{2}^{4},$$

 $<sup>^2</sup>$  Исключение  $\overline{a}_{{\rm k},22}$  из выражений для  $\overline{b}_{{\rm k},22}$  по сравнению с формулами для плоских потоков обеспечивает более компактную форму записи.

$$\frac{\overline{b}_{4,22}}{b_0^2} = -15\overline{b}_{10} + \frac{323382}{16065}\overline{b}_3\overline{b}_7 + \frac{85}{21}\overline{b}_4\overline{b}_6,$$

$$\frac{\overline{b}_{5,22}}{b_0^2} = \frac{28}{11} \left[ -\frac{110}{9}\overline{b}_{11} - \frac{50}{9}\overline{b}_3\overline{b}_8 - \frac{40}{9}\overline{b}_4\overline{b}_7 - \frac{3313}{2100}\overline{b}_3\frac{a_{2,22}}{b_0^2} - \frac{65}{126}\frac{\overline{a}_{1,22}}{b_0^2}\tilde{V}_2^2 - \frac{917}{700}\frac{\overline{N}_{0,2}}{b_0} + \frac{\overline{N}_{0,2}}{b_0} \left( -\frac{5963}{11340}\overline{b}_3 + \frac{11}{6}\overline{\phi}_{11} - \frac{1}{3}\overline{V}_9 - \overline{b}_7 \right) \right],$$

$$\frac{\overline{b}_{6,22}}{b_0^2} = \frac{9}{4} \left[ -\frac{132}{9}\overline{b}_{12} - \frac{109}{45}\overline{b}_3\overline{b}_9 - \frac{484}{81}\overline{b}_4\overline{b}_8 + + \frac{16}{3}\overline{b}_6^2 - \frac{2659}{270}\overline{b}_3^2\overline{b}_6 + \frac{\overline{N}_{0,2}}{b_0} \left( -\frac{40}{9}\overline{b}_6 + \frac{289}{75}\overline{b}_3^2 + + 2\overline{\phi}_{12} - \frac{1}{3}\overline{V}_{10} - \frac{1405}{10206}\overline{b}_4^2 + \frac{64807}{90720}\frac{\overline{N}_{0,2}}{b_0}\tilde{V}_2^2 \right) - \frac{10714}{535815}\tilde{V}_2^6 \right].$$

Балансы в уравнении (6) в осесимметричном случае приводят к следующим соотношениям:

$$\overline{\varphi}_{10} = -\frac{16}{9}\overline{b}_{6} + \frac{163}{150}\overline{b}_{3}^{2},$$

$$\overline{\varphi}_{11} = -\frac{88}{45}\overline{b}_{7} - \frac{43}{45}\overline{b}_{4}T_{0} - \frac{1319}{56700}T_{0}\tilde{V}_{2}^{2},$$

$$\overline{\varphi}_{12} = -\frac{116}{55}\overline{b}_{8} + \frac{5699}{582120}\tilde{V}_{2}^{4},$$

$$\overline{\varphi}_{13} = \frac{3}{11}\left(-\frac{74}{9}\overline{b}_{9} + \frac{4898}{405}\overline{b}_{3}\overline{b}_{6} - \frac{122029}{30375}\overline{b}_{3}^{3}\right),$$

$$\overline{\varphi}_{14} = \frac{9}{39}\left(-\frac{92}{9}\overline{b}_{10} - \frac{219}{90}\overline{b}_{3}\overline{\varphi}_{11} + \frac{8259}{24192}\overline{\varphi}_{10}\overline{V}_{2}^{2} - \frac{244501}{725760}\overline{b}_{3}^{2}\tilde{V}_{2}^{2}\right),$$

$$\overline{\varphi}_{15} = \frac{18}{91}\left(-\frac{112}{9}\overline{b}_{11} - 5\overline{b}_{3}\overline{\varphi}_{12} + \frac{1}{3}\overline{\varphi}_{11}\overline{V}_{2}^{2} - \frac{1369973}{5000940}\overline{b}_{3}\tilde{V}_{2}^{4}\right); \quad \overline{b}_{12} = -\frac{1}{134}\left[\frac{105}{2}\overline{\varphi}_{16} + \frac{99}{5}\overline{b}_{3}\overline{\varphi}_{13} - \left(\frac{13}{4}\overline{\varphi}_{12} + \frac{41}{21}\overline{V}_{10}\right)\tilde{V}_{2}^{2} - \frac{3}{8}\overline{\varphi}_{10}^{2} + \left(\frac{1075}{16}\overline{b}_{6} - \frac{52}{75}\overline{b}_{3}^{2}\right)\overline{\varphi}_{10} - \frac{76}{567}\overline{\varphi}_{8}\tilde{V}_{2}^{4} + \frac{1}{9}\overline{V}_{6}^{3} + + \left(\frac{17}{9}\overline{b}_{8} + \frac{3}{4}\overline{b}_{4}\tilde{V}_{2}^{2} - \frac{5}{27}\overline{V}_{6}^{2} - \frac{37}{216}\overline{V}_{6}\tilde{V}_{2}^{2} + \frac{565}{31104}\tilde{V}_{2}^{4}\right) \times \\ \times \tilde{V}_{2}^{2} - \frac{1502}{15}\overline{b}_{3}\overline{b}_{9} + \frac{7424}{50625}\overline{b}_{3}^{4}\right].$$

Антипараксиальные разложения, определяющие асимптотику решения вблизи сингулярной стартовой поверхности при эмиссии в о-режиме, обладают тем свойством, что коэффициенты разложения потенциала  $\phi_{4+3k}$  могут быть заданы произвольно, в то время как коэффициенты с промежуточными значениями индексов жестко определены (регламентированы) значениями компонент магнитного поля на катоде и коэффициентами  $\phi_{4+3k}$ . Впервые этот факт был отмечен в работе [11]. В применении к рассматриваемой задаче величины  $\phi_{4+3k}, \ k \ge 0$  задают плотность тока эмиссии J, кривизну катода  $\kappa_{10}$ , вторую производную  $J_{,22}$ , вторую производную кривизны  $\kappa_{10.22}$ , четвертую производную  $J_{2222}$  и т.д., полностью определяя тем самым физические и геометрические параметры пучка.

Связь пар  $\overline{b}_4$ ,  $\overline{\phi}_8$ ;  $\overline{b}_5$ ,  $\overline{\phi}_9$ ;  $\overline{b}_7$ ,  $\overline{\phi}_{11}$ ;  $\overline{b}_8$ ,  $\overline{\phi}_{12}$  позволяет рассчитать коэффициенты разложения потенциала при известных значениях  $\overline{b}_k$ , которые удалось установить на основе регуляризации решения. Соответствующие коэффициенты разложения скорости  $\overline{V}_k$  следуют из интеграла энергии (48). Однако выполненная регуляризация не дает возможности указать значения коэффициентов  $b_k \neq b_{3l}$  начиная с k=10.

## 6. РЕГЛАМЕНТИРОВАННЫЕ КОЭФФИЦИЕНТЫ $b_k$ , k > 10

Необходимые в рамках рассматриваемой модели коэффициенты  $b_{10}$ ,  $b_{11}$  связаны со значениями  $\phi_{14}$ ,  $\phi_{15}$ ;  $V_{12}$ ,  $V_{13}$ . Эволюционное уравнение на оси z

$$k_{1,2} = h_{2,11} \tag{62}$$

из (8) позволяет выразить величины  $\overline{b}_k$  через производные траекторных коэффициентов  $f_k$  в формуле (21):

$$\overline{b}_k = \frac{1}{b_0} f_{k,2}. (63)$$

Наиболее простой способ вычисления функций  $f_k$  — построение антипараксиальных разложений в ортогональной системе s, l,  $\psi$  (нормаль, длина дуги вдоль катода, азимут), связанной со стартовой поверхностью s=0 и имеющей следующие коэффициенты Ляме:

$$h_1 = 1$$
,  $h_2 = 1 - \kappa_{10}s$ ,  $h_3 = R = R_0 (1 - \kappa_{20}s)$ . (64)

Поверхность катода зададим параметрически

$$R = R_0(l), \quad z = Z_0(l).$$
 (65)

Уравнения пучка в рассматриваемом случае определены соотношениями

$$(h_{2}p_{l})_{,s} - p_{s,l} + h_{2}H_{\Psi} = 0, \quad p_{l}^{2} + p_{s}^{2} = (1 + \varphi)^{2} - 1,$$

$$(h_{2}h_{3}\varphi_{,s})_{,s} + \left(\frac{h_{3}}{h_{2}}\varphi_{,l}\right)_{,l} = h_{2}h_{3}(1 + \tilde{\varphi})\sigma,$$

$$\sigma = \frac{\rho}{1 + \varphi}, \quad (h_{2}h_{3}\sigma p_{s})_{,s} + (h_{2}\sigma p_{l})_{,l} = 0,$$

$$-(h_{3}H_{\Psi})_{,s} = h_{3}\sigma p_{l}, \quad \vec{p} = (1 + \varphi)\vec{v}.$$
(66)

Здесь  $\vec{p}$  — импульс,  $\sigma$  — скалярная плотность заряда. Структура решения соответствует эмиссии в  $\rho$ -режиме:

$$p_{s} = U_{2}s^{2/3} \left( 1 + \overline{U}_{4}s^{2/3} + \overline{U}_{5}s + \ldots \right),$$

$$p_{l} = U_{2}s \left( \overline{V}_{3} + \overline{V}_{4}s^{1/3} + \overline{V}_{5}s^{2/3} + \ldots \right),$$

$$\varphi = \varphi_{4}s^{4/3} \left( 1 + \overline{\varphi}_{6}s^{2/3} + \overline{\varphi}_{7}s + \ldots \right),$$

$$\sigma = s^{-2/3} \left( \sigma_{-2} + \sigma_{0}s^{2/3} + \sigma_{1}s + \ldots \right).$$
(67)

Дифференциальное уравнение траектории имеет вил

$$\frac{dl}{ds} = \frac{p_l}{(1 - \kappa_1 s) p_s} = \alpha_1 s^{1/3} + \alpha_3 s + \dots + \alpha_8 s^{8/3}.$$
 (68)

Для решения поставленной задачи необходимо вычислить коэффициенты разложения компонент импульса вплоть до  $\bar{V}_{10}$  и  $\bar{U}_{9}$ . Функции  $\bar{V}_{3}(l), \bar{V}_{5}(l), \bar{V}_{6}(l), \bar{U}_{4}(l), \bar{U}_{5}(l)$  необходимо разложить в окрестности точки старта  $l=l_{0}$ , сохраняя приведенные ниже члены:

$$\overline{V}_{3}(l) = \overline{V}_{3}(l_{0}) + \overline{V}_{3}'(l_{0})\overline{l} = \overline{V}_{3}(l_{0}) + 
+ \overline{V}_{3}'(l_{0})(l_{4}s^{4/3} + l_{6}s^{2} + l_{7}s^{7/3}), 
\overline{V}_{5}(l) = \overline{V}_{5}(l_{0}) + \overline{V}_{5}'(l_{0})l_{4}s^{4/3}, 
\overline{V}_{6}(l) = \overline{V}_{6}(l_{0}) + \overline{V}_{6}'(l_{0})l_{4}s^{4/3}, 
\overline{U}_{4}(l) = \overline{U}_{4}(l_{0}) + \overline{U}_{4}'(l_{0})l_{4}s^{4/3}, 
\overline{U}_{5}(l) = \overline{U}_{5}(l_{0}) + \overline{U}_{5}'(l_{0})l_{4}s^{4/3}, 
\overline{l} = l - l_{0} = l_{4}s^{4/3} + l_{6}s^{2} + l_{7}s^{7/3} + \dots$$
(69)

Коэффициенты в правой части уравнения (68) с учетом разложений (69) вычисляются в точке  $l=l_0$  и следующим образом связаны с коэффициентами из (67):

$$\alpha_{1} = \overline{V}_{3}, \quad \alpha_{3} = \overline{V}_{5} - \overline{U}_{4}\overline{V}_{3}, \quad \alpha_{4} = \overline{V}_{6} - \overline{U}_{5}\overline{V}_{3} + \kappa_{10}\alpha_{1},$$

$$\alpha_{5} = \overline{V}_{7} - \overline{U}_{4}\overline{V}_{5} + \left(-\overline{U}_{6} + \overline{U}_{4}^{2}\right)\overline{V}_{3} + \overline{V}_{3}'I_{4},$$

$$\alpha_{6} = \overline{V}_{8} - \overline{U}_{4}\overline{V}_{6} - \overline{U}_{5}\overline{V}_{5} + \left(-\overline{U}_{7} + 2\overline{U}_{4}\overline{U}_{5}\right)\overline{V}_{3} + \kappa_{10}\alpha_{3},$$

$$\alpha_{7} = \overline{V}_{9} - \overline{U}_{4}\overline{V}_{7} - \overline{U}_{5}\overline{V}_{6} + \left(-\overline{U}_{6} + \overline{U}_{4}^{2}\right)\overline{V}_{5} +$$

$$+ \left(-\overline{U}_{8} + 2\overline{U}_{4}\overline{U}_{6} + \overline{U}_{5}^{2} - \overline{U}_{4}^{3}\right)\overline{V}_{3} + \kappa_{10}\alpha_{4} + \kappa_{10}^{2}\alpha_{1} +$$

$$+ \overline{V}_{3}' l_{6} + \left(\overline{V}_{5}' - \overline{U}_{4}\overline{V}_{3}' - V_{3}\overline{U}_{4}'\right)l_{4},$$

$$\alpha_{8} = \overline{V}_{10} - \overline{U}_{4}\overline{V}_{8} - \overline{U}_{5}\overline{V}_{7} +$$

$$+ \left(-\overline{U}_{6} + \overline{U}_{4}^{2}\right)\overline{V}_{6} + \left(-\overline{U}_{7} + 2\overline{U}_{4}\overline{U}_{5}\right)\overline{V}_{5} +$$

$$+ \left(-\overline{U}_{9} + 2\overline{U}_{4}\overline{U}_{7} + 2\overline{U}_{5}\overline{U}_{6} - 3\overline{U}_{4}^{2}\overline{U}_{5}\right)\overline{V}_{3} + \kappa_{10}\alpha_{5} +$$

$$+ \overline{V}_{3}' l_{7} + \left(\overline{V}_{6}' - V_{3}\overline{U}_{5}'\right)l_{4}.$$

$$(70)$$

Коэффициенты разложения компонент импульса в результате построения локального решения системы (66) определены формулами

$$\begin{split} U_2 &= \left(\frac{9J}{2}\right)^{1/3}, \quad \overline{U}_4 = -\frac{9}{20}\,\overline{N}_0^2, \quad \overline{U}_5 = \frac{4}{15}T_0, \\ \overline{U}_6 &= \frac{3}{14}\,\overline{N}_0\overline{J}_{,2} - \frac{243}{2800}\,\overline{N}_0^4 + \frac{19}{126}\,\widetilde{U}_2^2, \\ \overline{U}_7 &= -\frac{12}{35}T_0\overline{N}_0^2, \\ \overline{U}_8 &= \frac{67}{450}T_0^2 - \frac{2}{9}\,\kappa_{10}\kappa_{20} - \frac{2}{45}(\overline{J}_{,22} - k_{20}\overline{J}_{,2}) - \frac{1}{180}\,\overline{J}_{,2}^{'2} + \\ &+ \frac{61}{1680}\,\overline{N}_0^3\overline{J}_{,2} - \frac{29}{80}\,\overline{N}_0^2\overline{N}_{0,2} - \frac{1863}{56000}\,\overline{N}_0^6 + \frac{71}{2520}\,\overline{N}_0^2\widetilde{U}_2^2, \\ \overline{U}_9 &= \frac{1}{20}\bigg[\,\overline{N}_0\left(\frac{46}{21}\,\kappa_{10,2} + 2\,\kappa_{20,2}\right) + \\ &+ \left(\frac{1069}{135}\,\kappa_{10} + \frac{1837}{945}\,\kappa_{20}\right)\,\overline{N}_0\overline{J}_{,2} - \\ &- \frac{24839}{10500}\,T_0\overline{N}_0^4 + \left(\frac{78608}{15309}\,\kappa_{10} + \frac{79256}{15309}\,\kappa_{20}\right)\,\widetilde{U}_2^2\bigg]; \\ \overline{V}_3 &= -\overline{N}_0, \quad \overline{V}_5 &= \frac{1}{5}\overline{J}_{,2}, \quad \overline{V}_6 &= -\frac{1}{2}T_0\overline{N}_0, \\ \overline{V}_7 &= -\frac{9}{140}\,\overline{N}_0^2\overline{J}_{,2} - \frac{27}{70}\,\overline{N}_0\overline{N}_{0,2} - \frac{1}{14}\,\overline{N}_0\widetilde{U}_2^2, \\ \overline{V}_8 &= \frac{1}{10}\,T_{0,2} + \left(\frac{7}{30}\,\kappa_{10} + \frac{1}{30}\,\kappa_{20}\right)\,\overline{J}_{,2}, \\ \overline{V}_9 &= \left(-\frac{1}{2}\,\kappa_{10}^2 - \frac{1}{3}\,\kappa_{20}^2 - \frac{1}{6}\,\kappa_{10}\kappa_{20} + \frac{1}{14}\,\overline{J}_{,22} - \right. \\ &- \frac{1}{21}\,\overline{J}_{,2}^2 - \frac{27}{2800}\,\overline{N}_0^3\overline{J}_{,2}\right)\,\overline{N}_0 + \\ &+ \left(\frac{1}{14}\,\overline{J}_{,2} - \frac{81}{700}\,\overline{N}_0^3\right)\,\overline{N}_{0,2} + \left(\frac{109}{1890}\,\overline{J}_{,2} + \frac{1}{30}\,\overline{N}_0^3\right)\,\widetilde{U}_2^2, \\ \overline{V}_{10} &= -\frac{3}{10}\bigg[\frac{12}{35}\,\overline{N}_0^2T_{0,2} + \left(\frac{23}{70}\,\kappa_{10} + \frac{4}{35}\,\kappa_{20}\right)\,\overline{N}_0\overline{N}_{0,2} + \\ &+ \left(\frac{69}{35}\,\kappa_{10} + \frac{24}{35}\,\kappa_{20}\right)\,\overline{N}_0\overline{N}_{0,2} + \\ &+ \left(\frac{319}{630}\,\kappa_{10} + \frac{1}{6}\,\kappa_{20}\right)\,\overline{N}_0\overline{U}_2^2\bigg]. \end{split}$$

В результате интегрирования уравнения (68) с правой частью (70) трубка тока в криволинейной системе s, l описывается выражением

$$\overline{l} = l - l_0 = \frac{3}{4}\alpha_1 s^{4/3} + \frac{1}{2}\alpha_3 s^2 + \frac{3}{7}\alpha_4 s^{7/3} + \dots$$
 (72)

Воспользуемся связью [1, 2] произвольных ортогональных координат с локальными декартовыми координатами X, Y, которая для системы s, l принимает вид

$$s = X - \frac{1}{2}\kappa_{1}Y^{2} - \frac{1}{6}\kappa_{1}'Y^{3},$$

$$\overline{l} = Y + \kappa_{1}XY + A_{2}Y^{3} + B_{2}XY^{2} + \kappa_{1}^{2}X^{2}Y.$$
(73)

Непоясняемые в (73) коэффициенты  $A_2$ ,  $B_2$  не являются существенными в рассматриваемом случае. Перейдем при помощи формул (73) к координатам X, Y:

$$Y = f_4 X^{4/3} + f_6 X^2 + f_7 X^{7/3} + \dots$$

$$f_4 = \frac{3}{4} \alpha_1, \quad f_6 = \frac{1}{2} \alpha_3, \quad f_7 = \frac{3}{7} \alpha_4 - \kappa_1 f_4,$$

$$f_8 = \frac{3}{8} \alpha_5, \quad f_9 = \frac{1}{3} \alpha_6 - \kappa_1 f_6 - \frac{1}{2} \alpha_1 \kappa_1 f_4^2, \qquad (74)$$

$$f_{10} = \frac{3}{10} \alpha_7 - \kappa_1 f_7 - \kappa_1^2 f_4,$$

$$f_{11} = \frac{3}{11} \alpha_8 - \kappa_1 f_8 - B_2 f_4^2 - \alpha_1 \kappa_1 f_4 f_6 - \frac{1}{2} \alpha_3 \kappa_1 f_4^2.$$

Отметим, что в формуле (63) при вычислении функций  $\overline{b}_k$  использовались траекторные коэффициенты из (21) для функции Y = Y(l), а не для представления Y = Y(X). Длина дуги l для кривой (74) определена формулой

$$l = \int \sqrt{1 + {Y'}^2} dX,\tag{75}$$

которую после интегрирования можно обратить, чтобы выразить X через I. При этом различие величин X, I описывается членами с нелинейными комбинациями коэффициентов  $f_k$ , которые при дифференцировании по  $x^2$  и переходе к оси z, где все  $f_k=0$ , дадут нулевой вклад. По этой причине при вычислении функций  $\overline{b}_k$  можно дифференцировать траекторные коэффициенты (74). В результате получим

$$\overline{b}_4 = -\frac{3}{4} \frac{\overline{N}_{0,2}}{b_0}, \quad \overline{b}_6 = \frac{1}{10} \frac{\overline{J}_{,22}}{b_0^2}, 
\overline{b}_7 = \left(\frac{31}{140} \kappa_{10} - \frac{1}{10} \kappa_{20}\right) \frac{\overline{N}_{0,2}}{b_0}, 
\overline{b}_8 = \frac{153}{1120} \frac{\overline{N}_{0,2}^2}{b_0^2} + \frac{5}{168} \frac{\overline{N}_{0,2}}{b_0} \tilde{V}_2^2,$$

$$\overline{b}_{9} = \frac{1}{30} T_{0,22} - \kappa_{10} \overline{b}_{6} + \left(\frac{19}{150} \kappa_{10} - \frac{1}{150} \kappa_{20}\right) \frac{\overline{J}_{,22}}{b_{0}^{2}}, 
\overline{b}_{10} = \frac{3}{10} \left[ \left( -\frac{227}{90} \kappa_{10}^{2} - \frac{23}{90} \kappa_{20}^{2} - \frac{139}{45} \kappa_{10} \kappa_{20} + \frac{315}{315} \frac{\overline{J}_{,22}}{b_{0}^{2}} + \frac{2}{45} k_{20} \frac{\overline{J}_{,2}}{b_{0}} \right) \frac{\overline{N}_{0,2}}{b_{0}} + \frac{26}{945} \frac{\overline{J}_{,22}}{b_{0}^{2}} \widetilde{V}_{2}^{2} \right] - \kappa_{10} \overline{b}_{7} - \kappa_{10}^{2} \overline{b}_{4}, 
\overline{b}_{11} = \frac{3}{11} \left[ \left( -\frac{153}{175} \kappa_{10} - \frac{18}{175} \kappa_{20} \right) \frac{\overline{N}_{0,2}^{2}}{b_{0}^{2}} + \frac{1}{151727} \kappa_{10} + \frac{3412}{15309} \kappa_{20} \right] \frac{\overline{N}_{0,2}}{b_{0}} \widetilde{V}_{2}^{2} - \kappa_{10} \overline{b}_{8}.$$
(76)

Связи между функциями  $\overline{b}_k$  и  $\overline{\phi}_k$  в (61) позволяют установить значения коэффициентов разложения потенциала, а соотношения (48), следующие из интеграла энергии, дают возможность вычислить соответствующие коэффициенты  $\overline{V}_k$  разложения скорости. В результате получена вся необходимая информация для построения асимптотики функции  $h_{2,22}$  в (9) и формулы для четвертой производной плотности тока эмиссии  $J_{,2222}$  в (42).

Выражения для  $\overline{b}_7$ ,  $\overline{b}_8$  в (76) представляют собой форму записи, альтернативную по отношению к выражениям (57), полученным из соображений регуляризации решения; обе формы приводят к тождественным результатам.

В случае плоских и осесимметричных потоков величины  $\overline{b}_{10}$ ,  $\overline{b}_{11}$  принимают следующие значения:

$$\overline{b}_{10} = -\left(\frac{1}{540} \frac{\overline{J}_{,22}}{b_0^2} + \frac{67}{4725} \kappa_{10}\right) \tilde{V}_2^2, 
\overline{b}_{11} = -\frac{598628}{404157600} \kappa_{10} \tilde{V}_2^4; 
\overline{b}_{10} = \left(\frac{13}{7560} \frac{\overline{J}_{,22}}{b_0^2} - \frac{22}{175} \kappa_{10}\right) \tilde{V}_2^2, 
\overline{b}_{11} = \frac{4300171}{404157600} \kappa_{10} \tilde{V}_2^4.$$
(77)

#### ЗАКЛЮЧЕНИЕ

Построенная в работе модель плоскосимметричных и осесимметричных релятивистских потоков при отсутствии внешнего магнитного поля, сводящаяся к двум обыкновенным дифференциальным уравнениям второго порядка, позволяет синтезировать непараксиальный электронный пучок с катода заданной формы и с заданным распределением плотности тока эмиссии J. Произвольные значения плотности тока J, второй и чет-

вертой производных  $J_{,22}$ ,  $J_{,2222}$  на оси, кривизны  $\kappa_{10}$  катода и второй производной  $\kappa_{10,22}$  достигаются за счет коэффициентов разложения потенциала  $\phi_4$ ,  $\overline{\phi}_7$ ,  $\overline{\phi}_{10}$ ,  $\overline{\phi}_{13}$ ,  $\overline{\phi}_{16}$ . Соответствующие соотношения определяют связь между функциями J,  $\kappa_1$  и  $\phi(z)$ .

Рассмотренные конфигурации электронных потоков наиболее часто используются в приборах СВЧ и сильноточных ускорителях. Задача о формировании подобных течений даже в случае очень узких пучков не может быть решена методами классической параксиальной теории или теории В.Т. Овчарова [12], распространенной на релятивистские скорости, из-за невозможности выполнить условия термоэмиссии на стартовой поверхности при работе с ортогональной системой координат.

По сравнению с численными моделями, в том числе коммерческими пакетами траекторного анализа, предложенный в работе подход исключает ошибки, связанные с грубым описанием сингулярной прикатодной зоны. Дополненный известными алгоритмами расчета торцевой лапласовской области [13], основанными на теории антипараксиальных разложений, он служит основой для создания теплового зазора с теоретически обоснованной конфигурацией. Произвольное его исполнение для мощных пучков и пучков с высокой компрессией, обычное при использовании пакетов траекторного анализа, должно приводить к суще-

ственным ошибкам, которые впоследствии приходится компенсировать за счет экспериментальной доводки прибора. Проблемы, связанные с формированием теплового зазора и вариантами его практической реализации, обсуждаются в работе [14].

#### СПИСОК ЛИТЕРАТУРЫ

- 1. Сыровой В.А. Теория интенсивных пучков заряженных частиц. М.: Энергоатомиздат, 2004.
- 2. Syrovoy V.A. Theory of Intense Beams of Charged Particles. US: Elsevier, 2011.
- 3. Сыровой В.А. // РЭ. 2013. Т. 58. № 6. С. 614.
- 4. Сыровой В.А. // РЭ. 2014. Т. 59. № 4. С. 358.
- 5. Сыровой В.А. // РЭ. 2016. Т. 61. № 3. С. 263.
- 6. Сыровой В.А. // РЭ. 2017. Т. 62. № 5. С. 502.
- 7. Сыровой В.А. // РЭ. 2019. Т. 64. № 1. С. 82.
- 8. *Сапронова Т.М., Сыровой В.А.* // РЭ. 2010. Т. 55. № 6. С. 726.
- 9. *Вашковский А.В., Неганова Л.А., Сыровой В.А.* // Прикл. физика. 1998. № 3–4. С. 33.
- 10. Сыровой В.А. // РЭ. 2002. Т. 47. № 9. С. 1114.
- 11. *Алексахин Ю.И*. Препринт ОИЯИ № P-81-619. 1984.
- 12. Овчаров В.Т. // РЭ. 1962. Т. 7. № 8. С. 1367.
- 13. *Сапронова Т.М., Сыровой В.А.* // РЭ. 2017. Т. 62. № 11. С. 1106.
- 14. *Акимов П.И.*, *Никитин А.П.*, *Сыровой В.А.* // Электрон. техника. СВЧ-техника. 2018. № 1. С. 32.